

**15461**

**ELEKTRİK ALAN BİLEŞENLERİNİN  
FİBER-OPTİK ALGILANMASI**

**RIZA KARAMÜRSEL**

**ERCİYES ÜNİVERSİTESİ  
FEN BİLİMLERİ ENSTİTÜSÜ'NE  
ELEKTRONİK ANAİLİM DALINDA YÜKSEK LİSANS TEZİ  
OLARAK SUNULMUŞTUR**

**ŞUBAT-1991**

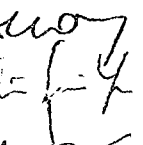
15461

Erciyes Üniversitesi  
Fen Bilimleri Enstitüsü Müdürlüğü'ne

Bu çalışma, jürimiz tarafından Elektronik Anabilim Dalı'nda Yüksek Lisans tezi olarak kabul edilmiştir.

20/3/1991

Başkan : Doç.Dr. İbrahim Uzunay  
Üye : Doç.Dr. B. Sami Yıldız  
Üye : Yrd.Doç.Dr. Kenan Demirman

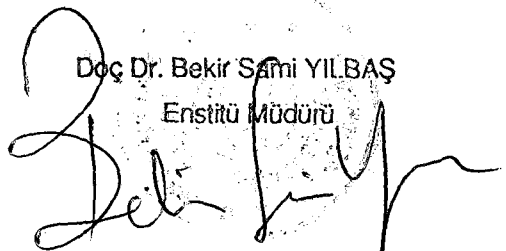


Onay:

Yukarıdaki imzaların, adı geçen öğretim üyelerine ait olduğunu onaylarım.

29/3/1991

Doç.Dr. Bekir Sami YILBAŞ  
Enstitü Müdürü



## ÖZET

Bu çalışmada, fiber optik kablo ve elektrik alan bileşenlerinin fiber optik algılanması, fiber optik algılama kavramı prensipleri ve teorisi incelerek elektrik alan bileşenlerinin fiber optik algılamaları ile ilgili yöntemler araştırılmıştır.

Çalışma yedi bölümden meydana gelmiştir. Birinci bölümde, optik fiberin tarihçesi ve günümüzde intikali; ikinci bölümde, fiber optikin yapısı, zayıflaması, ışığın yayılması, çeşitleri, avantajları, dezavantajları, bant genişliği, uygulama alanları ve bunlarla ilgili terimlerin açıklaması; üçüncü bölümde, fiber optik kablonun iletişim sisteminde uygulama alanları ve bunlarla ilgili sistemlerin çalışma prensipleri; dördüncü bölümde, bu kablo ve sistemlerin günümüz haberleşmesindeki yeri ve haberleşmede bunlarla birlikte kullanılan elemanlar ve bu elemanların alıcı ve verici duyarlığı, modülasyon frekansları, led'ler ve laser diyodun, foto diyodun optik fiber üzerinde kullanımını ve kolaylıklarını incelenmiştir. Beşinci bölümde, vericiler, optik fiberin elektromanyetik dalga spektrumu çizilerek incelenmiştir. Altıncı bölümde, fiber optiklerin pratik algılamalar için kullanımı örneğin UI (Termik), basınç, sistem teorisi ve iletişimleri; yedinci bölümde, elektrik alan bileşenlerinin fiber optik algılaması ve bunlarla ilgili maddeler ile fiziksel prensipleri incelenmiştir.

## **ABSTRACT**

In the present study, optical sensing of fiber optic cables and their electrical field components were examined. Methods which are related to the fiber optic sensing were investigated.

In the first chapter, historical development of fiberoptic was presented.

In the second chapter, following properties of fiberoptic were studied: These are structure, damping, bandwidth, types, advantages and disadvantages. In addition, application areas of optical fiber and distribution of light in the fiber optic were studied.

In the third chapter, telecommunication system which is using fiberoptic cables was discussed.

In the fourth chapter, components of receiver and transmitter in the fiberoptic transmission system were examined.

In the fifth chapter, electromagnetic wave spectrum of fiberoptic transmitter system was plotted and examined.

In the sixth and last chapter, using fiberoptics for practical sensing i.e. UI (termic), pressure and system theory and transmission were examined with physical principles.

## ÖZGEÇMİŞ

Rıza Karamürsel 1958 yılında Kayseri (Başakpınar)'de doğdu. İlkokul öğrenimini Başakpınar İlkokulunda, orta öğrenimini Taşas Ortaokulunda, Lise öğrenimini Kayseri Endüstri Meslek Lisesi Elektronik Bölümünde tamamlayıp, 1976 yılında mezun oldu. Aynı yıl Kayseri PTT Bakım merkezi müdürüliğinde Kranpörtör Teknisyenı olarak görevye başladı. 1978 yılında Kayseri Erciyes Üniversitesi Mühendislik Fakültesi Elektronik bölümune girdi. Mart 1983 yılında mezun oldu. Bu dönem içerisinde Teknisyen olarak çalıştığı PTT'de bundan sonra Mühendis olarak görevine devam etti. 1988 yılında Kayseri PTT Telefon Müdürü oldu. Halen bu görevde devam etmektedir.

## **TEŞEKKÜR**

Bu çalışma esnasında gerek konu seçiminde, gerekse çalışmanın bütün sahalarında, bilgi ve yardımlarından sürekli faydalandığım hocam Doç. Dr. Bekir Sami YILBAŞ ve Yrd. Doç. Dr. Sedat ÖZSOY'a şükranları sunarım.

Çalışmalarım sırasında, çalışmalarımı yakinen ilgilenen Sayın Yrd. Doç. Dr. Mustafa ALÇI ve Dr. Cebraii ÇİFTLİKÇİ'ye, Elektronik ve Makina Bölümü öğretim üyelerine, daktiilosunda ve düzenlenmesinde emeği geçen bütün personelime teşekkürü bir vazife addeder saygılar sunarım.

*Rıza KARAMÜRSEL*

## İÇİNDEKİLER

BÖLÜM 1 GİRİŞ .....	1
1.1. Fiber optigin tarihçesi ..	1
1.2. Bu çalışmanın amacı ..	1
BÖLÜM 2 Fiber Optik'in Gelişmesi ve Çalışma Prensibi .....	2
2.1. Optik Fiberin yapısı ..	2
2.2. Optik fiberler ..	2
2.3. F.O. Zayıflama ..	3
2.4. F.O. Kabloda Işığın yayılması ..	4
2.5. Fiber Optik Kablo tipleri ..	5
2.6. Fiber Optik Kabloların eklenmesi.....	5
2.7. Fiber Optik kablonun avantajları-dezavantajları ..	6
2.8. Kesim Dalga boyu ..	7
2.9. Bant Genişliği ..	8
2.10. Kabul açısı ..	8
2.11. Uygulama alanları.....	8
2.12. Fiberoptik Şebeke çeşitleri.....	9
2.13. Fiber optik Terirler.....	10
BÖLÜM 3. Fiber optik sistemleri.....	12
3.1. Giriş.....	12
3.2. F.O. ileşitim sisteminin çalışması.....	12
BÖLÜM 4. Optik haberleşme ile ilgili elemanlar.....	14
4.1. Optik Kuplörler.....	14
4.2. Fiber optik kuplörler.....	14
4.3. Aktif Elemanlar.....	17
4.4. Absorbsiyon.....	17
4.5. Emisyon.....	17
4.6. Alıcı duyarlılığı.....	18
4.7. Verici gücü.....	19
4.8. Spektral genişlik.....	19
4.9. Optik gücün sürme akımına bağımlılığı .....	19
4.10. Modülasyon frekansı.....	20
4.11. Led.....	20
4.12. Laser diyod.....	22
4.13. Laser Modülü..	27

4.14. Dedektörler.....	28
4.15. DIN Fotodiyod.....	29
4.16. RCA C 30818 E silikon (APO) Diyot ve özelliği.....	31
BÖLÜM 5. Optik sinyalin dönüştürülmesi.. .....	32
5.1. Vericiler.....	33
5.2. Elektromanyetik dalga spektrumu.....	34
BÖLÜM 6. Fiber Optiklerin pratik algılamalar için kullanımı.....	35
6.1. Girişi.. .....	35
6.2. Temel Fiber İletimi .. .....	35
6.3. Isı Algılamaİ.. .....	36
6.4. Basınç Algılaması.. .....	37
6.5. Sistem Teorisii.. .. .....	38
6.6. İletişim Sistemi.....	39
BÖLÜM 7. Elektrik Alan Bileşenlerinin Fiber Optik Algılaması.....	41
7.1. Giriş. ....	41
7.2. Fiziksel Prensip.....	41
7.3. Algılama Maddeleri..... .....	45
7.4. Deneysel Sonuçlar ve Tartışma..... .....	46
İrdeleme..... .....	48
Sonuç..... .....	49
Kaşnaklar .....	50

## 1. GİRİŞ

### 1.1. FİBER OPTİĞİN TARİHÇESİ

Işığın bilgi gönderme -alma ya da kısaca bir haberleşme aracı olarak çok eskiden beri kullanıldığı bilinmektedir. Buna Amerikan yerlilerinin kullandığı duman işaretleşmesini, güneş ışığını yansitan bronz aynaları, geceleri gemilere yol göstermek için kullanılan fenerleri, savaş esnasında bir donanmadaki gemilerin kendi aralarında optik morsa işaretleriyle haberleşmelerini örnek olarak verebiliriz.

Daha sonra telgraf, telefon, radyo haberleşmesi gibi profesyonel haberleşme sistemleri ortaya çıktıktan sonra, optik haberleşme vasıtaları unutulur gibi olmuştu. Fakat 1960'lı yıllarda sonra bu sahada da bir takım kıprıdanmalar görüldü. Nitekim bu yıllarda özellikle 1970'li yıllara doğru camın hammaddesi silisyumdan çekilen liflerin ışığın yayılması için bir iletim ortamı olabileceğine inançla çalışmalar, bazında da olsa ispatlandı. Ancak ilk anda kayıplar çok yüksek görünmüyordu ve bu yüzden ticari maksatlarla kullanılmaya henüz elverişli değildi. Teknolojinin gelişmesine paralel olarak bu kayıplarında üstesinden gelinerek, optik fiberler bugün artık en popüler haberleşme ortamlarından biri haline gelmiştir. 1970 yılında (800-900 mm)'lık dalga boyu bölgesinde optik liflerdeki zayıflama 20 dB/km civarında iken, sonraki on yıl içinde bu bölgedeki zayıflama 2 dB/km'ye kadar düşürüldü. Bugün 1,3 um ve 1,55 um'lık dalga boylarına karşı gelen pencerelerdeki kayıplar 0,4 ve 0,2 dB/km'ye kadar inmiş durumdadır. Bu ise özel optik kaynak ve alıcıların da kullanılmasıyla, 100 km'yi aşan mesafeler için araya herhangi bir tekrarlayıcı koymadan iletim yapabilme imkanı sağlamıştır. Optik fiberlerin diğer iletim ortamları üzerinde olan üstünlüğü aşağıdaki örneklerle daha iyi anlaşılabilir. [1]

Bir kilometre üzerinde bilgi taşıma kapasiteleri:

Bakır teller	: 1 MHz
Koaksiyal kablo:	: 100 MHz
Tek modlu fiber kablo	: 100000 MHz
1 MHz'lik işaret için gücün yarıya düşüğü mesafe:	
Bakır kablo çifti	: 250 m
Koaksiyal kablo	: 1000 m
Tek modlu fiber kablo	: 10000 m

Göründüğü gibi zayıflamalardaki büyük azalma yanında optik fiberler band genişliği açısından da büyük bir kapasiteye sahiptirler.

### 1.2. ÇALIŞMANIN AMACI

Gelişen teknoloji, günümüzde haberleşme teknolojisini de ileri bir yere getirmiştir.

Geçmiş yıllarda haberleşme alanında kullanılan metal Kablolu haberleşme sistemleri; gerek maliyetlerinin yüksek, bakımlarının zor ve, gerekse haberleşme ağında görülen zayıflamalar nedeni ile yetersiz kaldığı açıkça görülmüştür. Bu nedenle bu arzu edilmeyen durumları ortadan kaldırmak ve haberleşme ağında daha sadelik sağlamak amacıyla Lazer diyodları, Fiber Optik ileticiler ve Optik modülatörler gibi yeni sistemlerin kullanılması kaçınılmaz olmuştur.

Bu çalışmada haberleşme teknolojisine dönük bir fiber Optik sistem, çalışma prensibi ve ilgili kısımları tanıtılmış ve açıklanmıştır. Bu amaca uygun olarak haberleşme sisteminde kullanılan Fiber Optik kablolar (Bu kabloların iletim şekilleri) ve Fiber optik haberleşmede kullanılan modülatörler açıklanmıştır.

Sonuç olarak fiber optik haberleşmenin üstünlükleri ve bu alandaki yeni gelişmeler verilmiştir.

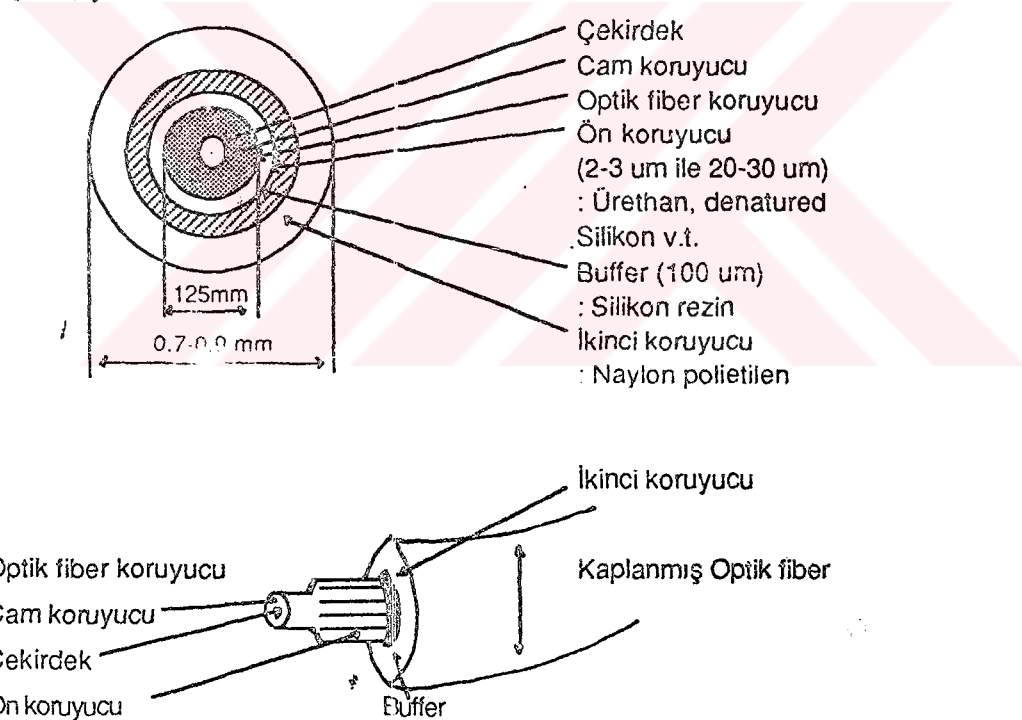
## 2. FİBER OPTİK'İN GELİŞMESİ VE ÇALIŞMA PRENSİBİ

### 2.1. OPTİK FİBERİN YAPISI

Fiber optik kablo Şekil: 1.1'de görüldüğü gibi merkezde bir çekirdek, çekirdek üzerinde yine camdan oluşan tabaka (cam koruyucu) cladding, üzerinde ön koruyucu ve onun üzerinde de ikinci koruyucu tabakadan oluşmaktadır. Işığın esas yayıldığı (geçtiği) bölge çekirdektir. Ülkemizde kullanılan fiber optik kablonun çekirdek çapı 10 (metrenin milyonda biri) cladding tabakasının çapı 125, koruyucu tabakanın ki ise 250 mikrometredir.

Işığın geçmesini sağlayan esas etken camın kırılma indeksidir. Gelen işığın en az kayıpla diğer uca ulaşabilmesi için çekirdeğin kırılma indeksi çekirdek üzerindeki camın kırılma indeksinden büyük olması gerekmektedir. Cladding tabakasının üzerinde bulunan plastik tabaka ise çok saf olan cam kristalin esnekliğini sağlamak ve dış etkilerden korumak için konulmuştur. 250 mikrometre kalınlığındaki fiber, yine cam elyafından yapılmış buffer (tampon) tüp içine esnek şekilde, yani fiberin tüp içerisinde rahat hareket edebilecekesneklikte yerleştirilmiştir.

Her buffer tüp bakır servis devresi ile beraber belli açıda bunun üzerine yine cam elyafından yapılmış kefeler ile iyice sarılarak kablonun rutubet, su ve diğer yabancı maddelerden korunması için üzerleri yağ ile kaplanmıştır. Kefeler ile sarılmış fiberler üzerine dış kılıf kaplaması yapılarak koruma altına alınmıştır. [1,2,3,4]

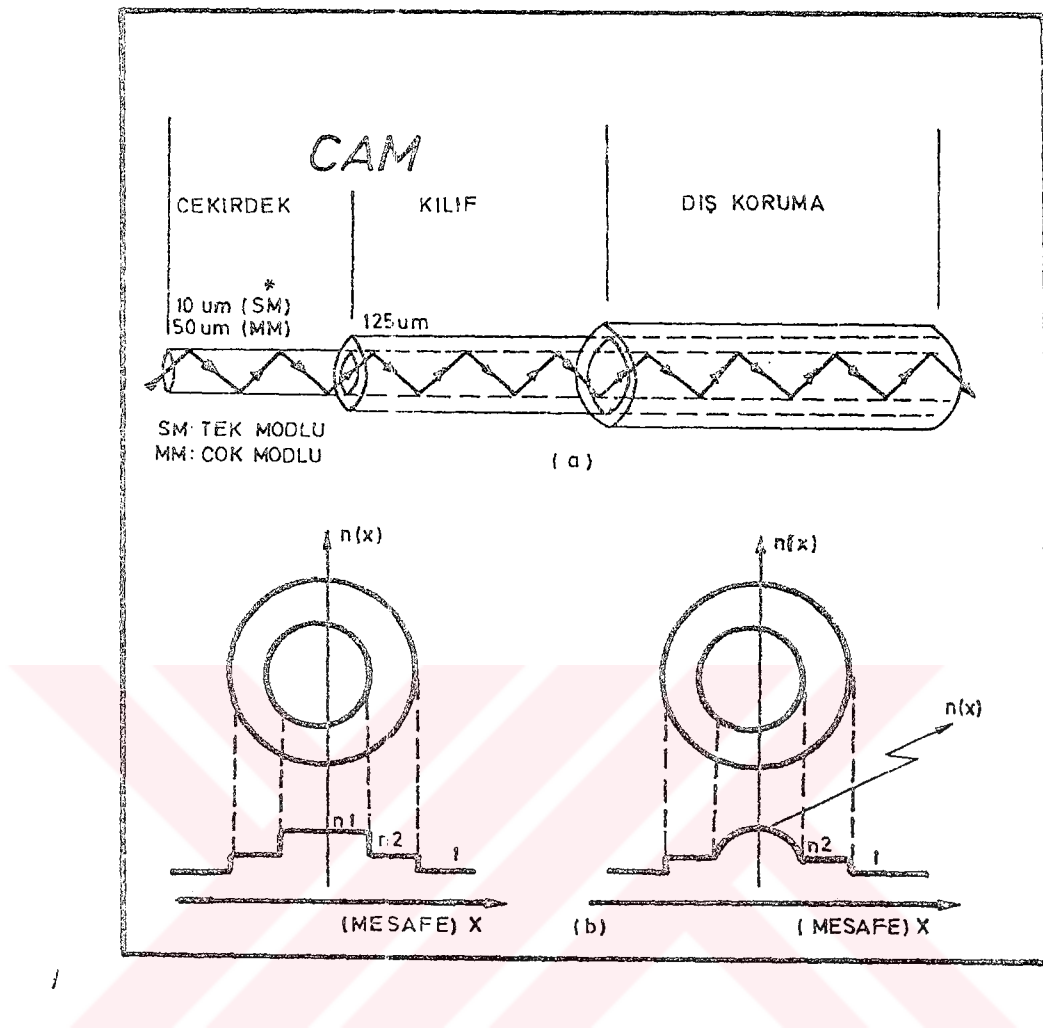


Şekil: 1.1. Fiber Optik kablo iç yapısı.

### 2.2. OPTİK FİBERLER:

Fiber liflerin kesitleri, dairesel olup, bir çekirdekle bunu çevreleyen kılıftan ibarettir. Fiberlerin yapımında bugün yaygın olarak Germanium, Fosfor veya Flor gibi katkı iyonlarıyla kırılma indislerinde değişiklik yapılabilecek saf cam ( $\text{SiO}_2$ ) kullanılmaktadır. Telekomünikasyon uygulamalarında kullanılan fiberlerde dıştaki kılıfın çapı 125 um dir. Çekirdeğin çapı çok modlu lifler için 50 um ve tek modlu lifler için 10 um civarındadır.

Bundan başka plastikten yapılan fiberlerde mevcuttur. Ancak bunlardaki zayıflamalar daha fazla olduğundan silisyum fiberler kadar yaygın değildir. Optik liflerin ışığı iletebilmesi için çekirdek kısmının kırılma indisinin kılıf kırılma indisinden biraz daha büyük olması gereklidir. Tek modlu fiberlerde çekirdekle kılıf arasındaki kırılma indis profili basamak biçimindedir. Yani çekirdektен-kılıfa ya da kılıftan-çekirdeğe gerçerken ani bir indis değişimi gözlenir. Şekil: 1.2

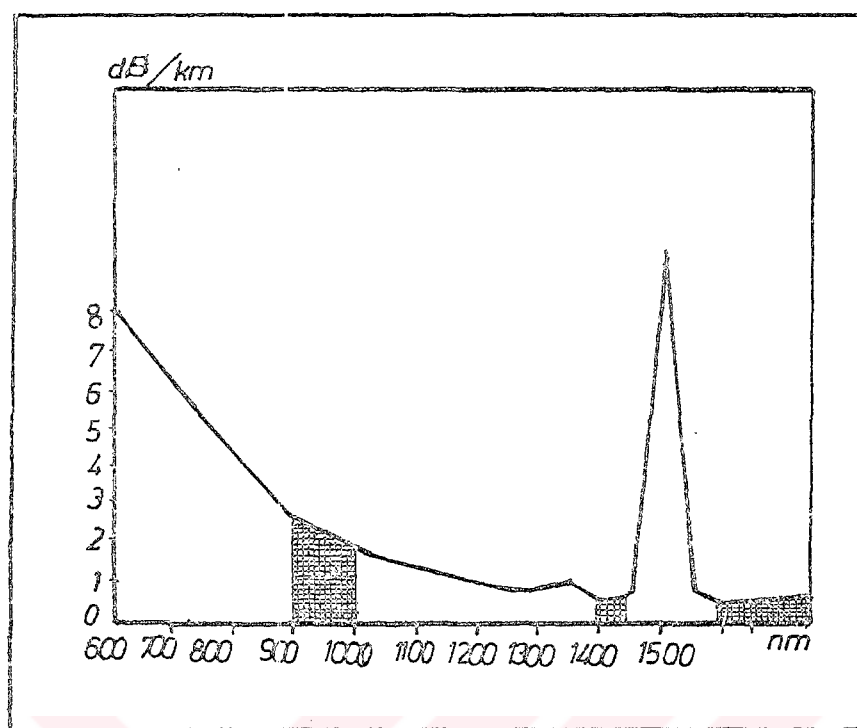


Şekil: 1.2. Fiber Optik Kabloda Işığın İletimi.

Çok modlu ya da değişken-indisli fiberlerde kırılma indisini çekirdeğin merkezinde belli bir maksimumdan başlayarak çekirdek-kılıf sınırına kadar yavaşça azalarak gider (Şekil: 1.2) Çok modlu fiberlerdeki kırılma indisinin bu şekilde çekirdek merkezinden başlayarak azalması, ışığın yayılması esnasında meydana gelen dağılmayı mümkün olduğu kadar azaltmak maksadıyla. Optik liflerin iletim ya da ışığı taşıma özellikleri şu parametrelerle karakterize edilir. Zayıflama, band genişliği, kabul açısı ve kesir dalga boyu.

### 2.3. O.F ZAYIFLAMA dB/Km:

Şekil: 1. 3'de görülebileceği gibi fiber zayıflama, kullanılan ışığın dalga boyuna göre değişir. Bugün 850 nm, 1300 nm, ve 1550 nm dalga boylarında çalışan sistemler mevcuttur. Bu dalga boyu bölgeleri yaygın olarak birinci, ikinci ve üçüncü pencere olarak adlandırılır.



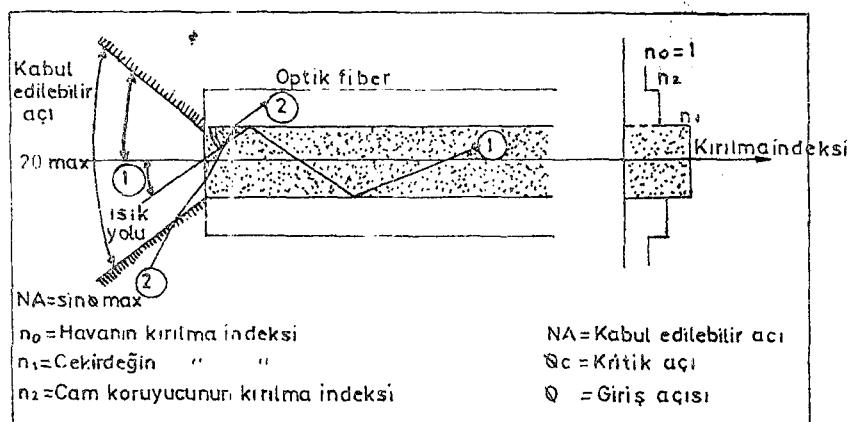
Şekil: 1.3 Fiber Optikte kullanılan ışığın dalga boyuna göre zayıflaması.

#### 2.4. FİBER OPTİK KABLODA İŞİĞİN YAYILMASI

Optik fiber kablo iki değişik kırılma indeksine sahip tabakadan oluşmuştur. Çekirdek tabakası saf kristal olup, kırılma indeksi cladding tabakasının kırılma indeksinden daha büyktür.

İşığın çekirdek içinde az kayıpla yoluna devam edebilmesi için çekirdek çapının düşük ve kırılma indeksinin cladding tabakasının kırılma indeksinden büyük olması, diğer taraftan ışık kaynağından gelen ışığın çekirdek eksenile yaptığı açının (kabul edilebilir açılık-NA)  $11^\circ$ 'nin altında olması gerekmektedir. Şekilde de görüleceği üzere 1 nolu ışık kabul edilebilir açılıkta geldiğinden yoluna çekirdek tabakasında kırılarak devam etmektedir. Buna karşılık 2 nolu ışık kabul edilebilir açılığının dışında bir açı ile geldiğinden ışık çekirdek tabakasında kırılma uğramadan cladding tabakasından dışarı doğru çıkışacak ve çekirdek içinde yoluna devam edemeyecektir.

İşığın optik fiberde yoluna devam edebilmesi için gelen ışığın kabul edilebilir açılıkta gelmesi, fiber optik çekirdeğinin saf ve temiz olması, çekirdek kalınlığının az ve çekirdek kırılma indeksinin cladding tabakasının kırılma indeksinden büyük olması gerekmektedir. Şekil: 1.4.'de fiber optik kabloda ışığın nasıl yayıldığı görülmektedir.



Şekil: 1.4 Fiber Optik Kabloda ışığın yayılması.

## 2.5. FİBER OPTİK KABLO TIPLERİ

İlk yapılan fiber optik kablo türlerinden olan Step-index fiberler maksimum 50 MHz/Km band genişliğindedir. Çekirdeğin kırılma indeksi homojen dağılmakla beraber çekirdek daha büyük çapta yapılmış, ancak bu durum mod bozulması oluşumuna neden olmaktadır. Yani çekirdek üzerinden birden fazla ışık aynı anda ve aynı hızla yayılım göstermektedir. Çekirdeğin çapı 40 ile 100 mikrometre arasındadır.

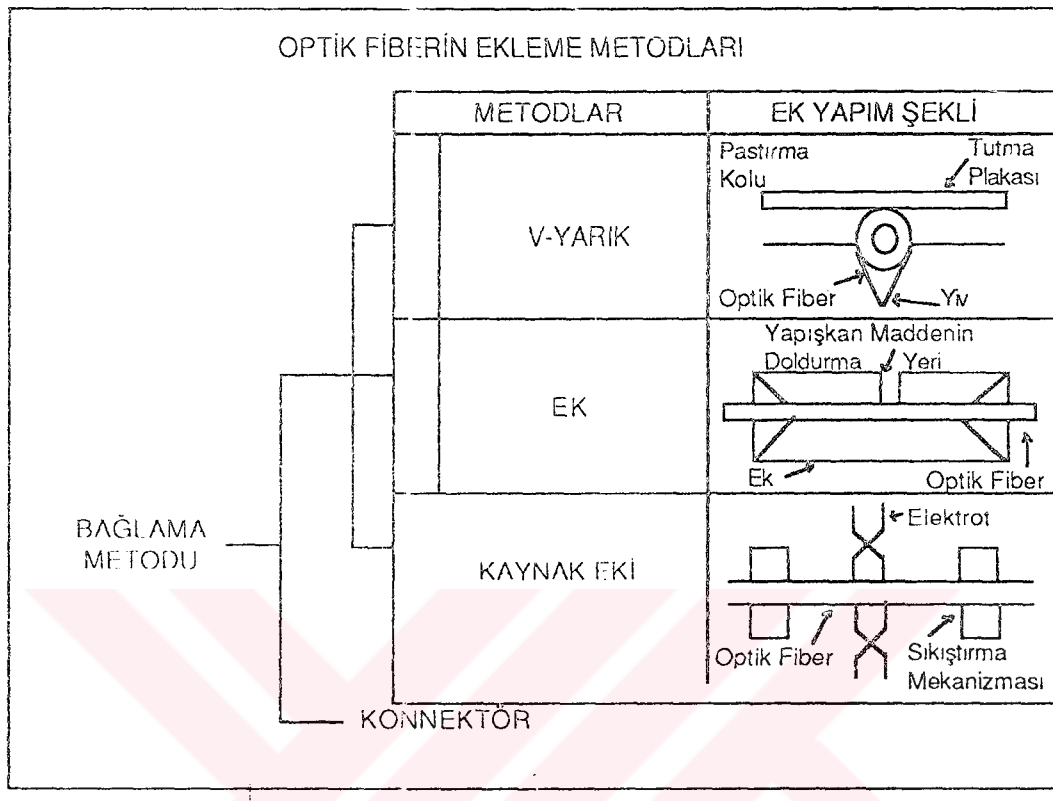
Graded-index fiberlerde ise çekirdek yapısı farklı olup, çekirdek merkezine doğru kırılma indeksi farklılığı görülmektedir. Dolayısıyle gelen değişik açılardaki ışıklardan merkezdekiler en yavaş en dıştakiler ise en hızlı olacak şekilde dizayn edilmiş ve dolayısıyla ışığın bozulması önlenmiş olmaktadır. Çekirdek çapı diğer fiberler aynı olmasına karşın 6 GHz/Km band genişliğinde çalışabilmektedir. Şekil: 1.5'de optikal fiberin tipleri görülmektedir. En son yapılan ve single mode (tek mod) olarak adlandırılan fiber kablo çekirdek kalınlığı 10 mikrometreye düşürülmüş, çekirdeğin kırılma indeksi düzgün dağıtılarak ışığın kırılmadan geçmesi sağlanmış ve kayıplar daha da düşürülmüştür. Bu tip fiberlerde 100 GHz veya daha büyük band genişliklerinde çalışabilmektedir. [4]

	OPTİKAL FİBERİN TİPLERİ		
	TEK MODLU FİBERLER	ÇOK MODLU Step-index tip	FİBERLER Grade-İndeks tip
KIRILMA İNDEKSİNİN DAĞILIMI ve İŞİGIN YAYILMASI			
ÇEKİRDEK ÇAPı	10 um	40-100 um	40-100 um
İZAFİ KIRILMA İNDEKSİ FARKI	%0.1-0.3	%0.8-3	%0.8-1.5
TRANSMİSYON BAND GENİŞLİĞİ	10 GHz/km veya daha fazla	10 -15 MHz/km	200-300 MHz/km ile 5-6 GHz/km

Şekil: 1.5 Fiber Optik Kablo Tipleri.

## 1.6. FİBER OPTİK KABLOLARIN EKLENMESİ

Optik kabloların kullanılmaya başlanması ile bu kabloların eklenmesi için her geçen gün yeni metodlar geliştirilmektedir. Şekil: 1.6'da yapıştırma ve kaynak metodu olmak üzere iki tip ek metodu gösterilmiştir. Yapıştırma metodunda fiberlere göre hazırlanmış yarıklara fiberler yerleştirilir ve fiberin kırılma indeksine yakın bir yapışkan ile fiberler yapıştırılarak ek yapılmış olur. PTT'de kullanılan metod ise kaynak metodu olup, fiberler ek makinasında uygun şekilde yerleştirildikten sonra elektrotlara akım verilerek fiberler birbirleri ile kaynatılarak eklenir.



Şekil: 6.1 Yapıştırma ve Kaynak Metodu.

## 2.7 FİBER OPTİK KABLOUNUN AVANTAJLARI - DEZAVANTAJLARI

### A- ÜSTÜNLÜKLERİ

- Çok küçük dalga boyunda, küçük boyutlu ışık kaynakları ve dedektörler kullanılmaktadır.
- Fiber kablonun bakır kablolarla göre kesit ve ağırlıkları çok düşüktür.
- Bilgi hızı bakır kablolarla göre çok yüksek olup, kanal kapasitesi yüksektir.
- Elektriksel etkileşme (Cross-talk) yoktur.
- Yüksek gerilim ihtiya eden yerlerde rahatlıkla kullanılabilir, etkileşme yapmaz.
- Gizlilik derecesi yüksektir.
- Cam materyali tabiatta çokca bulunduğuundan, maliyet düşüktür.
- Kilometrik kaybı diğer iletişim hatlarına göre çok düşüktür.
- Tekrarlama aralığı yüksek olup, uzak mesafe kablo tesisine müsaittir.
- Gürültüden etkilenmez.
- Elektromanyetik etkileşim yoktur.
- Topraklama problemi yoktur.

- Fiberler buffer tabakanın içinde serbest dolaştığından dış mekanik baskılardan etkilenmez.

Servis kalitesi yüksektir.

- Kısa mesafelerde ek yapmadan kablo tesisisi yapılabilir

## B. DEZAVANTAJLARI

- Haberleşme mesafesinin çok kısa olduğu durumlarda ve yeterince düşük hızlarda optik haberleşme sistemleri maliyet açısından daha pahalı olabilir. Bunun sebebi kaynak olarak kullanılan laser ve LED diyodlarıyla, algılayıcıların maliyetlerinin yüksek olmasıdır. Mesela 1987 yılı itibarıyle herhangi bir ışıl kararlılığı olmayan laser diyodonun tipik fiyatı 1000-1500 dolar civarındadır. ışıl kararlılık belirtildiği gibi yüksek hızlarda ve uzun mesafelerde bunun hiçbir önemi kalmaz ve optik haberleşme sistemleri maliyet açısından da avantajlı duruma geçer.

- Diğer haberleşme sistemlerinde olduğu gibi henüz tam bir standartlaşmaya gidilememiştir.

- Kaynak ve algılayıcıların çalışma ömrleri sınırlıdır.

- Yeni tekniklerin kullanılmasına ihtiyaç vardır [5]

### 2.8: KESİM DALGA BOYU c; nanometre:

Bu parametre ise yalnızca tek modlu fiberler için belirtilen bir parametredir ve fiberin tek modlu olarak çalıştırılması için mümkün olan minimum dalga boyu değeridir. Şayet fiberin uyarılması için belirlenen kesim dalga boyundan daha kısa dalga boyu kullanılırsa, tek modlu fiber, çok modlu fiberler gibi davranışmeye başlayacaktır.

Şekil: 1.8'de tek modlu ve çok modlu fiberlerin karakteristiklerinin bir özeti verilmiştir. Burada yerinen değerler ticari maksatlarla kullanılan optik fiberlerde bulunabilen değerlerdir. Bunlardan başka günümüzde 1550 nm de kullanılan zayıflamaları çok düşük (0,15 dB/km) fiberler uzun mesafe ve büyük band genişliklerinin istediği durumlar için tercih edilmektedir.

	<u>MM</u>	<u>SM</u>
Kılıf çapı (μ m)	125	125
Bandgenişliği(MHz/Km)	<2	<100
Zayıflama(dB/km)	3 veya 1	05
Kabul açısı	02	-----
Kesim dalga boyu(nm)	-----	<1300

Şekil: 1.8 Tek Modlu ve Çift Modlu Fiberlerin Karakteristikleri.

### 2.9: BAND GENİŞLİĞİ MHz/km:

Daha önce de belirtildiği gibi fiberlerin band genişliği üzerine gelen sınırlama, ışığın dağılması nedeniyedir. Çok modlu fiberler için modlararası dağılma baskın olduğundan band genişliği de etkin olarak modlararası dağılmaya bağlıdır.

Diğer dağılma tipi olan kromatik dağılma ise özellikle tek modlu liflerde band genişliği üzerine sınırlama getiren önemli bir etkendir. Kromatik dağılma etkisini hesaba katmak için ışık kaynağının spektral genişliğinin bilinmesi gereklidir.

### 2.10: KABUL AÇISI N.A Numerical Aperture:

Bu yalnızca çok modlu lifler için hesaplanan ve kaynaktan alınan ışığın fibere hangi oranında verimdeki edildiği hakkında bilgi veren bir katsayıdır. ışığın fibere gireceği açının maksimum değerinin sinüsü alınarak bulunur.

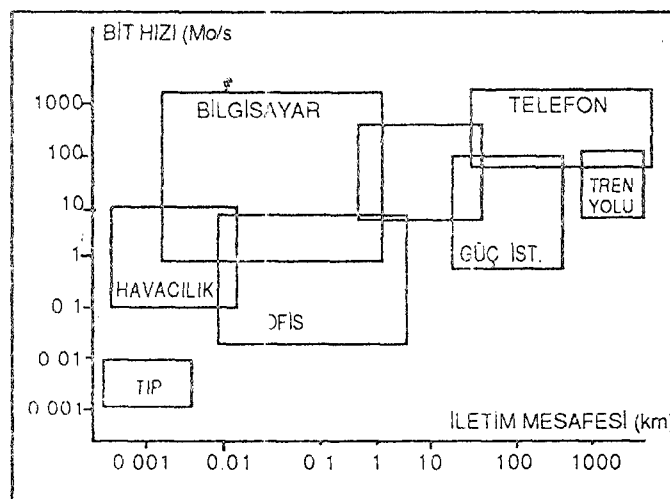
### 2.11. UYGULAMA ALANLARI

Fiber optik haberleşme sistemlerinin zayıflamasının çok az, band genişliğinde çok yüksek olması bu sistemlerin yüksek hızlı data iletimi, telefon haberleşmesi, video işaretinin iletimi, kablolu TV v.b gibi sistemlerde tercih edilir hale gelmesine sebep olmuştur. Bunlardan başka bazı özel uygulamalarda şöylece not edilebilir.

- Askeri uygulamalar (gürültücen etkilenmemesi, küçük hacimli olması)
- Banka uygulamaları (data şebekelerine yapılabilecek kaçak girişlere karşı emniyetli olması)
- Patlayıcı madde ortamlarında (kısa devre gibi bir sorun olmaması)
- Güç istasyonları (gürültüden bağımsız ve sağlam izolasyonlu olması)
- Proses kontrol (gürültüden bağımsız ve küçük hacimli olması)

Aşağıda Şekil: 1.9'da mümkün olan uygulamaların hız ve uzunluk parametrelerine göre değişimleri verilmiştir. Şu anda fiber optik haberleşme sistemlerinin en yaygın olarak kullanıldığı saha telefon ve data haberleşme sistemleridir. [4]

Telekomünikasyon uygulamalarına bakıldığından üç farklı sistem görülebilir. Bunlar, abone ya da LOCAL şebeke, santrallar arası bağlantı yani JONKSİYON şebekesi ve nihayet uzun mesafe haberleşmeleri için TRUNK şebekeleridir. [4]



Şekil:1.9 Mمكün olan uygulamaların hız ve uzunluk parametrelerine göre değişimi.

## 2.12: FİBER OPTİK ŞEBEKE ÇEŞİTLERİ

### a) TRUNK ŞEBEKELERİ

Koaksiyel kablolarla yapılan iletişim işlemlerinde genellikle frekans bölmeli çoğullama prensibi kullanılıyordu. Daha sonra sayısal tekniklerin artmasıyla beraber PCM sistemleri baskın çıkmaya başladı. Özellikle uzun mesafe haberleşme sistemleri sayısal mikrodalga iletimini kullanıyordu. 1980'li yillardan sonra ise uzun mesafe ve yüksek hızların söz konusu olduğu yerlerde fiber optik haberleşme sistemleri diğer kablo ortamları ve mikro dalga ile haberleşme sistemlerine göre birçok üstünlüğüyle beraber kullanılmaya başlandı. Şu anda ise pek çok ülkede telefon haberleşme sistemleriyle data haberleşme sistemlerinde artık tamamen fiber optik haberleşme sistemleri kullanılmaktadır.

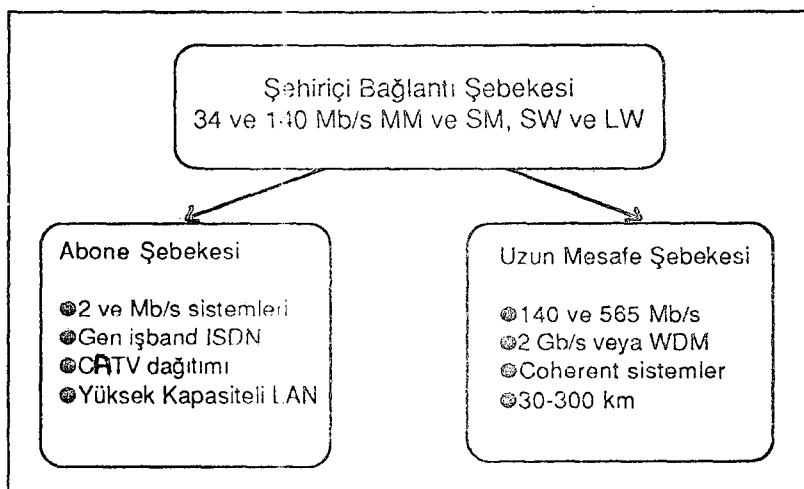
### b) JONKSIYON ŞEBEKELERİ

Son on yıla kadar analog santrallar arasında genelde iki telli iletişim ortamları yaygındı. Daha sonra bu ortamlardaki zayıflama etkilerini azaltabilmek için dijital PCM santrallar kullanılmaya başlandı. Şu anda büyük şehirlerde santrallar arasındaki iletişim ortamlarının çok büyük bir kısmı bakır kablolarıdır. Bunlar bilgi kapasitelerinin az olmalarından dolayı, hem maddi açıdan zorluk problemli olmaktadır. Mesela İstanbul gibi haberleşme trafiği çok yoğun olan bir şehirde iki santral arasındaki bağlantıyı kurabilmek için belki yüzlerce, hatta binlerce kablo çiftini çekmek gerekmektedir. Bunların toprak altı kanallardan iletilmesi gereklidir. Bu da başlı başına bir sorundur. İşte bu gibi sorumlara büyük kolaylıklar getiren fiber kabloların iletişim ortamı olarak kullanılmasıyla, hem doğal olarak küçük olan hacimlerinden, hem de çok yüksek bilgi taşıma kapasitelerinden istifade edilebilecektir. Kaba bir rakam söylemek gerekirse, bir kaç yüz tane bakır kablounun geleceği iş tek bir fiber kabloyla halledilebilecektir. Fiber kabloların izolasyonlarının çok sağlam olması nedeniyle, taşınmaları, aktarılmalari daha kolaydır.

### c) LOKAL ŞEBEKE

Bugün lokal şebekelerde genelde 2 ve 8 Mbit/s PCM sistemleri kullanılmaktadır. Simdilik bu sistemler için en iyi iletişim ortamı koaksiyel kablolarıdır. Çünkü burada mesafenin kısa olması ve hızın fazla yüksek olmamasından dolayı fiber optik sistemler daha lüks ve pahalı olacaktır. Ancak ilerde CATV sistemlerin hizmete girmesiyle bu sahada da fiber optik sistemlerin kullanımalarının daha uygun olacağı düşünülmektedir. Bu konuda batı ülkelerinde uygulamaya konulan sistemlerde fiber optik teçhizat kullanılmaktadır. Şekil: 1.10'da fiber optik sistemlerin günümüzdeki ve gelecekteki mümkün uygulamaları görülmektedir. Burada;

- MM : Çok modlu optik fiber
- SM : Tek modlu optik fiber
- SW : Kısa dalga;  $0,85\text{ }\mu\text{m}$  dalga boyu
- LW : Uzun dalga; 1,3 ve  $1,55\text{ }\mu\text{m}$  dalga boyu
- WDM : Dalga boyu bölmeli çoğullama
- ISDN : Tümleşik hizmetler sayısal şebekesi
- CATV : Kablolu televizyon
- LAN : Yerel sistemler



Şekil: 1.10 Fiber Optik Sistemlerin günümüzdeki ve gelecekteki mümkün uygulamaları.

### 2.13. FİBER OPTİK TERİMLER

Bu bölümde fiber optik haberleşme sistemlerine ilişkin bazı terimler kısaca izah edilecektir.

#### a) İŞIK:

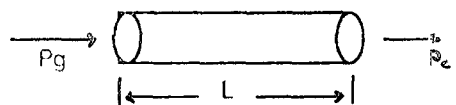
Genelde ışık deyince elektromanyetik spektrumun gözümüzle görebildiğimiz kısmı akılar gelir. Ancak optik haberleşmede kaynak olarak kullanılan ışık elektromanyetik radyasyonun görünmeyen kısımlarını kapsar. Bugün fiber optik haberleşme sistemlerinde kırmızı ışınlar bölgüsüne düşen 0,85 um; 1,33 um, 1,55 um; dalga boylarında ışık kullanılır. Özellikle bu değerlerin kullanılması, fiber kablolarındaki zayıflamalarla ilgilidir.

#### b) DAĞILMA:

Optik dalga kılavuzunda yani liflerde yayılan dalgaların bozulmasına dağılıma denir. Dağılıma genelde iki biçimde görülür. Biri kromatik dağılmadır ki, ışığın renk dağılımıyla ortaya çıkar. (Bir prizmada görüldüğü gibi). Diğeride çok modlu fiberlerde söz konusu olan modlararası dağılmadır. Bu ise farklı işaretlerin belli bir nokta arasındaki mesafeyi farklı zamanlarda almalarından kaynaklanır. Bu dağılıma etkilerinden dolayı optik dalga kılavuzları alçak geçiren filtre gibi davranışırlar. Ancak genelde bu geçirme bandı çok genişir.

#### c) BAND GENİŞLİĞİ:

Optik dalga kılavuzlarının alçak geçiren bir filtre gibi davranıştığı bir önceki kısımda belirtildi. Band genişliği; dalga kılavuzunda yayılan sinüsoidal bir sinyalın dağılımları ve diğer zayıflamalar nedeniyle gücünün yarıya indiği frekanstır. Eğer sinyal hiç güç kaybetmeden ilerlemiş olsaydı belli bir L uzunluğundaki optik lif için çıkan gücün giren gücü oranı 1 olup bunun LOG değeri 0 olacaktır. Ancak çıkan gücün, giren gücün yarısı olması durumunda bunun logaritmik değeri  $10 \log 2 = -3$  dB olacaktır. O halde band genişliğini, güç oranlarının -3 dB'e düşdüğü frekans olarak da tanımlayabiliriz.



Şekil: 1.11

**d) ÇOK MODLU FİBER:**

Dairesel kesitinin yarıçapı optik dalga boylarına göre çok daha büyük olan optik fiberlere çok modlu fiber denir. Çok modlu fiberlerin kullanılması halinde söz konusu olan modlararası dağılıma değişken indisli profillerin kullanılmasıyla belli bir minimumda tutulabilir. Değişken profilli çok modlu fiberlerin standarı CCITT-G. 651 ile belirlenmiştir.

**e) TEK MODLU FİBER:**

Yarıçapı optik dalga boyları mertebesinde yani max. 10  $\mu\text{m}$  civarında olan fiberlere tek modlu fiber denir. Bu tür fiberlerde yalnızca tek bir mod iletilir. Tek modlu fiberlerin band genişlikleri yalnızca kromatik dağılıma ile sınırlı olduğundan çok yüksek frenakstarda ve uzun mesafelerde iletişim söz konusu olduğunda kullanımı çok uygundur. Tek modlu fiberlerin standarı CCITT-G. 652 ile belirlenmiştir.

**f) KIRILMA İNDİSİ:**

Işığın boşluktaki hızını  $C$ , ve boşluk dışında bir ortamındaki hızını  $V$  ile gösterirsek ışığın  $V$  hızıyla yayıldığı ortamın bağılı kırılma indisü  $n=C/V$  orANIYLA tarif edilir.

Işığın boşluk dışı ortamlardaki hızı, daima boşluktaki hızından küçük olacağından herhangi bir boşluk dışı ortam için  $n>1$  'dir. Dikkat edilirse burada bir bağılı değer söz konusudur. Yani boşluk ortamı için  $n=1$  alınarak diğer ortamiarın kırırmına indisleri buna bağlı olarak hesaplanır. Silisyum fiberlerin kırılma indisleri  $n=1,5$  civarındadır. Bu değer dışardan başka maddelerin katkılanmasıyla değiştirilebilir.



## 3: FİBER OPTİK SİSTEMLERİ

### 3.1 GİRİŞ

Bir ışık kaynağı (LED, LD), fiber optik kablo ve bir ışık dedektöründen ibarettir. Günümüzde kullanılmakta olan iletişim sistemlerinden simetrik kablo (bakır kablo) ve radyolink iletişimi güncellliğini korumaktadır.

Transmisyon sistemlerinin kesintisiz bir şekilde sağlanabilmesi için alternatifli sistemler gereklidir. Onun için santrallar ve şehirlerarası bilgi aktarımı yeraltı kablo sistemi veya hava ortamı kullanılarak yapılmaktadır.

Radyolinkler aracılığı ile yapılan bilgi transferi bazı hallerde sakincalar doğurmaktadır. Çünkü hava ortamı her zaman değişebilmekte (soğuk, sıcak, rüzgar, toz rutubet vs.) ve gönderilen bilgiler alıcı tarafına istenilen seviyede iletilememektedir. Diğer taraftan gizlilik gerektiren durumlarda hava ortamını kullanmak mahsurludur. Bunun yanında yeraltı kablo sistemi ile yapılan uzak mesafe haberleşmesi; bilgi transferi güvenilirlik ve ekonomik yönden Raydoling sistemlerine göre avantajlıdır. Çünkü Radyolin sistemlerinin bakım işletmesi, yer üstünde görünür yerde olması ve sistemlerin taşıyıcı trekkans sayılarının sınırlı olması nedeniyle istenildiği kadar sistem kurulamaması gibi mahsulları bulunmaktadır.

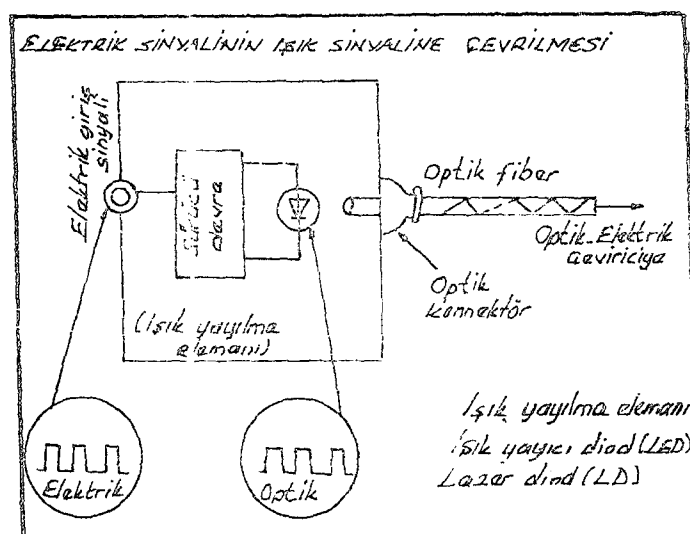
Günümüze kadar junksiyon ortibatı ve uzak mesafe haberleşmesi simetrik kablolar ve koaksiyel kablolar ile yapılmaktır, halen kullanılmaktadır. Bakır kablo ile yapılan uzak mesafe haberleşmesinde her 2 kilometrede bir yükseçe kullanılması gerekmektedir. Ve en fazla 15-20 km. mesafede kullanım sahası bulunmaktadır. Daha uzak mesafe haberleşmesi için koaksiyel kablolar kullanılmış her 4.5 kilometrede bir repetör kullanılmak suretiyle 2800 kanal nakledilebilmiştir. Aynı şekilde her 1.5 kilometrede bir repetör ve digital iletişim teknigi kullanılarak bilgi taşıma kapasitesi 4 misli artırılmıştır.

Daha önceleri santrallar ve şehirlerarası uzak mesafe haberleşmesinde kullanılan koaksiyel kablo ile günümüzde kullanılmaya başlanan tek modlu fiber kablolar mukayese edildiğinde; kabloların fiziki yapısı, bilgi taşıma kapasitesi, tesis ve bakımı yönünden fiber optik kablolar çok çok avantajlıdır. Diğer taraftan 565 M bit/sn'lik sistem kullanılarak yapılan bir bilgi naklinde koaksiyel kablo kullanıldığı takdirde her 1,5 km. mesafede bir tekrarlayıcı kullanılacak ve güzergah boyunca bu tekrarlayıcıların sayısı artıkça kabloların kaybı da o oranda artacaktır. Fiber optik kablolarında ise tekrarlama aralığı 30 - 40 kilometre olduğundan kayıplar az olacak ve daha uzak mesafeye ulaşabilecektir. Koaksiyel kablo metalik bir yapıda olduğundan kabloların yeri tespit edilebilmektedir. [6]

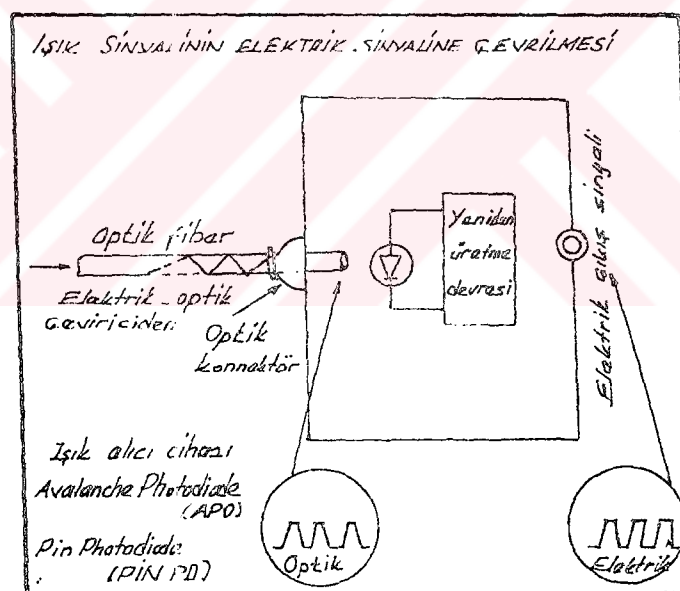
Halbuki fiber optik kablolar metalik yapıda olmadıkları için dışardan tesbiti mümkün olmamaktadır.

### 3.2 FİBER OPTİK İLETİŞİM SİSTEMİNİN ÇALIŞMASI:

Elektrik akımı şeklinde gelen data sinyalleri elektrik -Optik çeviri devrede ışık sinyallerine dönüşür ve çok yoğun olan ışık optik fibere aktarılır ve kablo sonunda optik -elektrik çeviri devresine gelir. Şekil: 2.1'de elektrik optik çeviri, şekil: 2.2 de optik elektrik çeviri görülmektedir. Burada foto dedektör kullanılarak, gelen ışık sinyali elektrik sinyallerine dönüştürülür ve sinyal tekrar şekillendirilir. İstenilen seviye ve şekle sokulmuş elektrik sinyal tekrar şekillendirilir. İstenilen seviye ve şekle sokulmuş elektrik sinyali esnek koaksiyel kablolar ile multiplexer sistemlerine aktarılır.



Şekil: 2.1 Elektrik Optik Çevirici



Şekil: 2.2 Optik Elektrik Çevirici.

#### 4. OPTİK HABERLEŞME İLE İLGİLİ ELEMANLAR

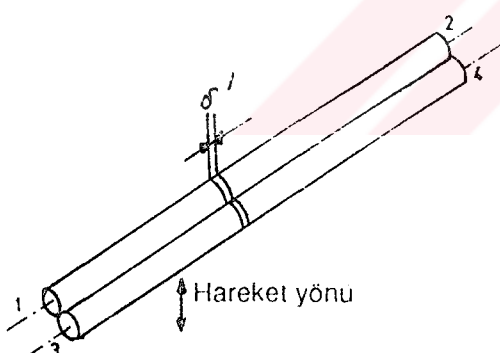
Nokta nokta bağlantılı, fiber optik iletimlerinde, uçları konnektörlü kablo öyle tasarımlanmalı ki, verici ve alıcı diyon interface ölçütleri uyumlu olmalıdır. Eğer fiber optik iletim hattının yapısı, bağlantının kesilmesine izin verecek yapıda olursa, bunun için uygun optik siwiçler mevcuttur.

Bir data haberleşmesi, bir fiber optik veya birkaç verici ve alıcının birleştirildiği bir optikbus sistemiyle iki yönde gönderileceğse optik kuplörler ihtiyaç vardır. Optik kuplörler çok port'ludur. (Multi port - çok giriş çıkış) Yani, ışığın üzerinden içeriye ve dışarıya kuple edileceği en az 3 adet port'u vardır. Dalga boyu bağımsız ve dalga boyu seçicili kuplörler olmak üzere iki çeşit kuplör vardır.

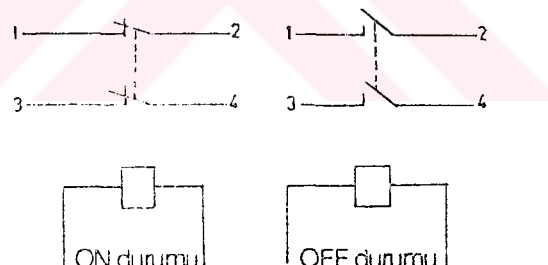
##### 4.1 OPTİK KUPLÖRLER

Bir mekanik rölede "ON" pozisyonunda bir fiber optik litinin iki uç yüzeyleri, birbirlerine paralel ve zit olarak öyle yakınırlar ki, birinin bir yüzeyinden çıkan ışık, karşı uçtan içeriye önemli bir kayıp olmaksızın transfer edilir. (Şekil: 3-1)

ON-OFF pozisyonları Şekil: 3-2 bu optik swiç'in ile elektromanyetik rölenin benzerliği gösterilmektedir. Örneğin bu rölelerle iki gelen ve giden fiberler anahtarlanabilir. Yararlanılabilecek dalga boyu ölçüsü 800 nm'den 1500 nm dir. Yerleştirme kaybı 1 dB'dir. Cross-talk zayıflaması > 50dB'dır. [3,7]



Şekil: 3-1 Optik Anahtar



Şekil: 3-2 Fiber Optik Anahtarların Ternel Pozisyonları.

##### 4.2 FİBER OPTİK KUPLÖRLER

###### 4.2.1- DALGA BOYU BAĞIMSIZ KUPLÖRLER

Dalga boyu bağımsız kuplörler, iki gruba ayrırlar 3 ve 4 port'lu kuplörler ve yıldız kuplörler. (MIXER - karıştırıcılar)

##### 3 VE 4 PORT'LУ KUPLÖRLER

**a) 3 port'lu kuplör:** Şekil 3.3 ve 3.4 birbirlerinin devamı olan fiber optik içerisindeki ışık izi fiber ucunda bir ayna görünümü içerir. Fiber optik devam eden, hatta ise bir ayna ile kuple edilir. Terminallere ise bir konnektörle birleştirilirler.

Şayet giriş sinyali 1-2 veya 1-3 nolu bağıntılar arasında 1/1 şeklinde intibatlanırsa aşağıdaki kayıp değerleri izlenebilir.

2X Konnektör	kayıbı	<3 dB
1X Sistem	kayıbı	<0,5 dB
1X Kuplör	kayıbı	3 dB
		<6,5 dB

1/1 bölüşüm oranına ilava olarak en fazla 1/10'a kadar başka bağlantıarda mümkündür. Bu tip kuplör uygulamalarında 800 -1300 nm dalga boyuna kadar ulaşılabilir. Bunlar step index veya gradient index fiberlerle çalışabilirler.

Kesit yeterince genişlediğinde, ışık 3. ve 2. fiberlerin çekirdek bölgесine geri döner. ışık bölüşüm oranı  $D_2/D_1 < 1$  çap değişimlerine ve uç uzunluklarına bağlıdır. Dalga kılavuzu mod'ları uçların yayılma istikametlerinin fiber eksenine bağlıyla karakterize edildiğinde iki uçlarındaki kuplaj mod'a oldukça bağlıdır.

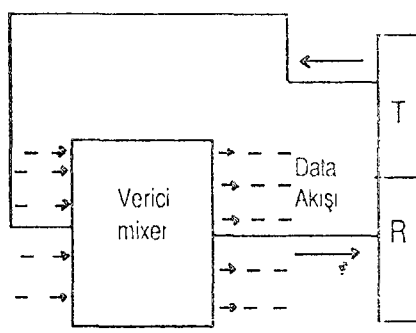
### b) Yıldız Kuplör

Bir fiber optikten gelen enerjiyi, çift sayılarla en fazla 32 ye bölünmesini temin eder. Bu amaç için, gelen ve giden fiber optik kuple edilen, erimiş silis camından küçük, plakacık halinde ince bir mixer içerir. Bunlar plakacıkların dar yüzeylerinin karşısına yerleştirilmiştir. (Şekil: 3-3)

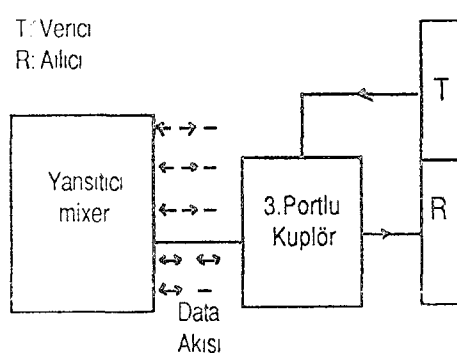
Diğer değişiklikte Şekil: 3-4 de görülen yansıtıcı mixer, fiber optik plakacığın dar taraflına çok yakın şekilde uzanır. Zıt karşı tarafında bir ayna yüzeyi vardır ve böylece bir yansıtıcı olur.

Yıldız kuplörlerin dizaynına bağlı olarak 4-32 portu vardır. Bugün kullanılan standart fiber optiklerin hepsi bunlara kuple edilebilir.

Dalga boyu 850 nm den 1800 nm ye ve iletim kaybı 4 port için <8 dB ve 16 port için <18 dB dir. Bu pasif yıldız kuplörlerle ilave olarak, aktif yıldız kuplörlerde vardır. Örneğin LAN (Lokal Area network) lerde olduğu gibi;



Şekil: 3-3 Verici Mixer ve Işık İzleri



Şekil: 3-4 Yansıtıcı Mixer ve Işık İzleri

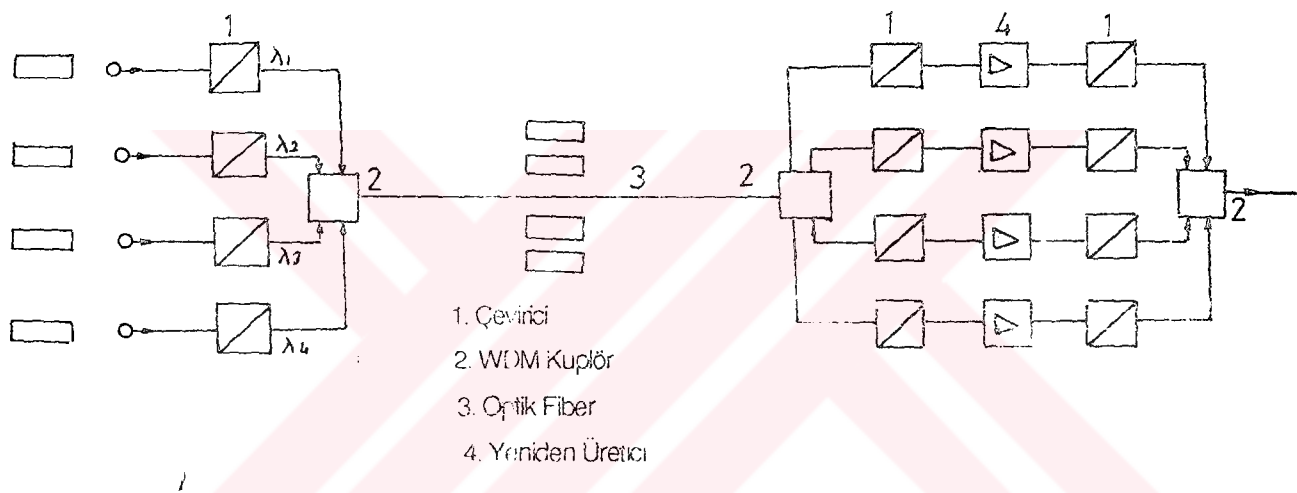
### 4.2.2 DALGA BOYU ŞEÇİCİ KUPLERLER

Dalga boyu seçici kuplörler (Şekil 3-5) özellikle kısa mesafelerde ve aktarıcısız hatlar için yapılmış bir konfigürasyondur. 4. farklı dalga boyu bir elektrooptik dönüştürücü olarak kullanılır. Onun yaydığı ışık bir optik seçici kuplör üzerinden birleştirilir ve bir fiber optikle gönderim yeterli olur. Uygulanan bu metod dalga boyu bölüşüm multiplexir (WDM) olarak adlandırılır.

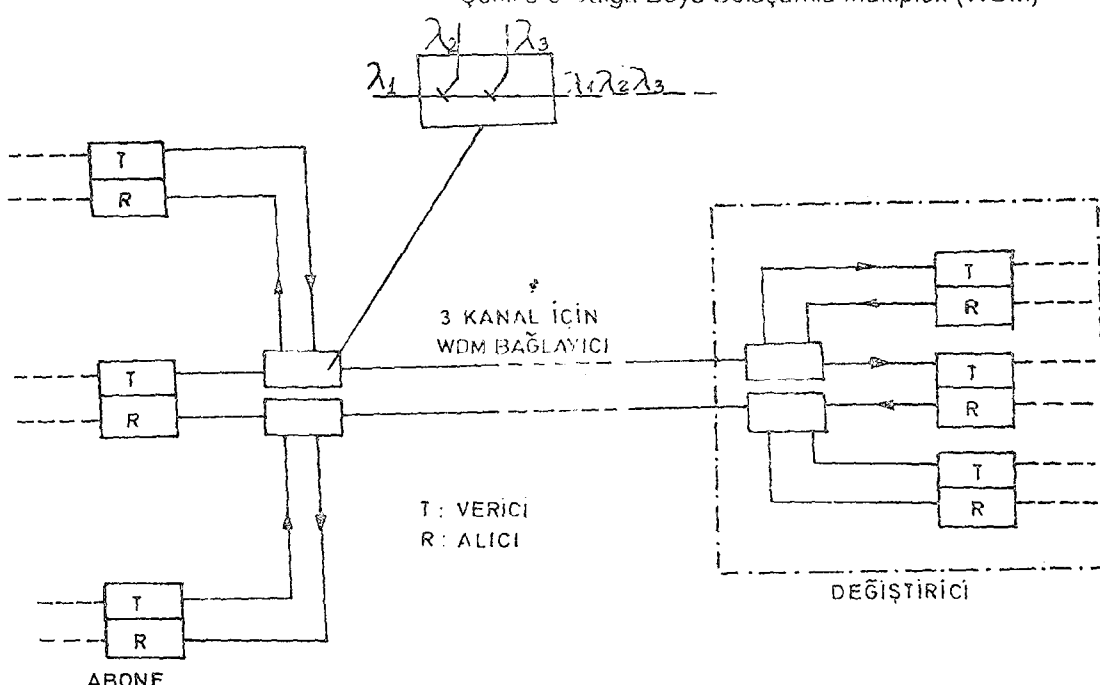
Bir ve iki yönlü WDM kuplörler vardır. Bir yöni WDM kuplör sinyalleri bir kaç optik taşıyıcılarla aynı yönde farklı dalga boyalarıyla gönderilirler. İki yönlü WDM kuplörde sinyaller ters yönde de gösterilirler. Dalga boyu bölüşüm multiplexle - demultiplexlerin her biri bir devamlı fiber optik ihtiva eder. Onun için ışık izinde gönderilen bir izolatör tabaka vardır. İnterference filtre, bu filitrenin yansıtıcı kolları üzerinde bir veya daha fazla fiber optik devamlı fiber optike kuple edilirler. Terminallerde fiber optike konnektöre geçilebilir.

Kanal aralama, LED'ler için 400 nm'de ve laser diyodlu sistemlerde 40 veya 50 nm'de yapılır. WDM kuplörlerin gönderim zayıflamaları dikkate alınmalıdır. Örneğin 3 port WDM için bu 0,8-1 dB'dır. Bunlar nokta nokta bağlantılarla mukayese edildiğinde hat uzunluğunu kısaltırlar.

Bu durum zayıflama planlamasında dikkate alınmalı ki, farklı dalga boylarında, farklı zayıflamalar planlamada en az avantajlı değer de kılavuz olmalıdır. WDM kuplörler tek mod ve çok modlu fiber optiklerde kullanılmaya uygundurlar.



Şekil 3-5 Dalga Boyu Bölüşümlü Multiplex (WDM)

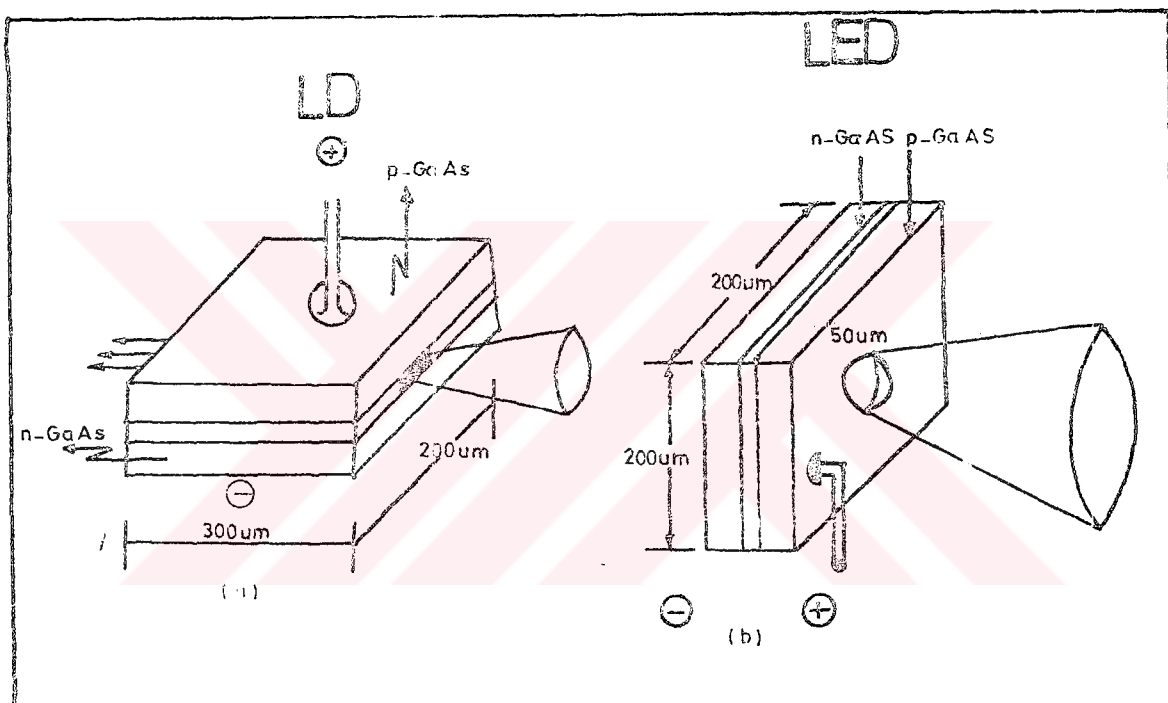


Şekil: 3-6 3 Kanal İçin WDM Kuplör Uygulamalı Geniş Band Haberleşme Şebekesinde Abone Erişimi.

#### 4.3. AKTİF ELEMANLAR:

Aktif elemanlar olan optik kaynaklar ve algılayıcılar yapı itibarıyle yarı iletken diyoddurlar. Şekil: 3.7'de lazer diyodu ve LED olarak ikiye ayırmamız gereken optik ışık kaynaklarının yapıları şematik olarak gösterilmiştir.

Yarı iletken optik kaynak ve algılayıcıların hepsi kat kat yapıllılar. Bu katlar çeşitli iyonlarla katkılıdır. Ya da katkılılmamış olabilir. Neticede bu katları bir diyon yapısını oluştururlar. Şekilden görülebileceği gibi elemanların fiziksel boyulları çok küçük yapılabildiğinden optik fiberlerle çok uyumlu olarak çalışırlar. Verici diyonları pozitif, algılayıcı diyodlar ise negatif yönde kutuplanırlar. Kaynaklar gelen elektriksel işaretin ışığa çevirirler. Algılayıcılar ise bunun tam tersini yaparlar.



Şekil: 3.7 Lazer Diyodu ve LED Olarak İkiye Ayırmamız Gereken Optik Işık Kaynaklarının Yapısı [6]

#### 4.4. ABSORBSİYON:

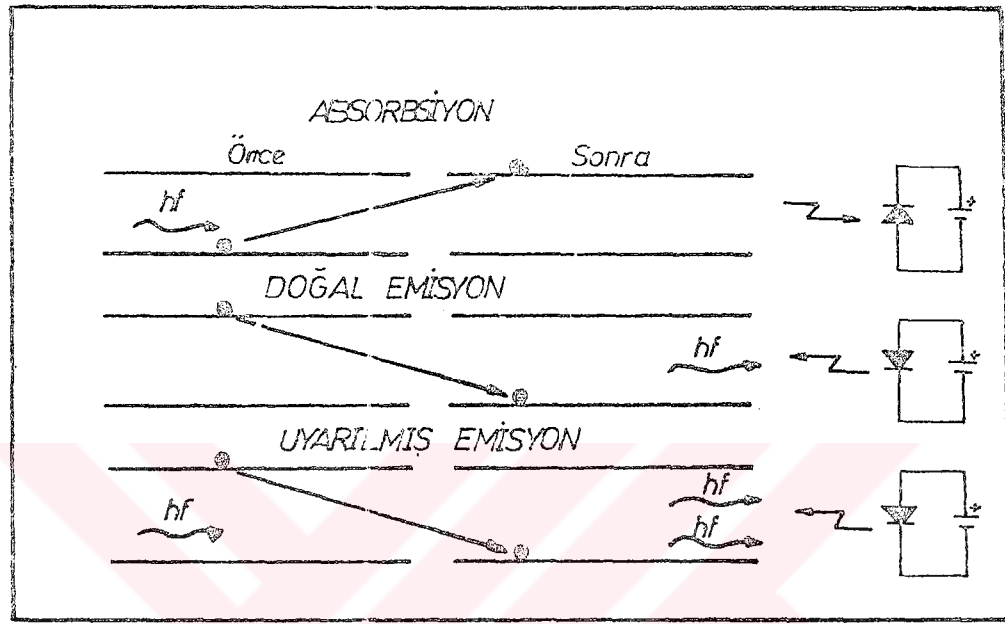
Fotonlar halinde olan optik enerjinin üzerine düşüğü maddenin atomundan elektron koparılmasına absorbsiyon denir. Foton enerjisiyle sabit kristal yörungesinden çıkarılan ve serbest hale gelen bu elektronlar iletim maksadiyla kullanılabilirler. Bu algılayıcıların çalışma prensibidir. Bu şekilde çalışan algılayıcılara foto diyon denmektedir.

#### 4.5. EMİSYON:

Emisyon absorbsiyonunun tersi bir işlemidir. Yani eğer iletken halde bulunan serbest elektronlar pozitif kutuplanmış bir diyon yapısına girerlerse diyon yapısında bulunan deliklere girebilirler. Serbest elektronlar daha az enerji seviyesinde bulunan bu deliklere ya da boşluklara atlarken dışarıya fotonlar halinde ışık enerjisi salarlar. LED'lerin çalışması yukarıda bahsedildiği gibidir. Lazer diyodlarının çalışması ise temelde aynı prensibe dayanmakla birlikte biraz daha farklıdır. Bunlarda meydana gelen ışığın bir kısmı kristal içine geri yansıtılırak yeni serbest

elektronlar üretilir. Üretilen bu elektronlar tekrar eski seviyelerine dönerken ışık yayarlar ve olay bu şekilde pozitif geri besleme ile devam eder. Bu geri besleme vasıtasyyla, lazer diyodlarının çıkışından diğer kaynaklara göre çok daha güçlü ışıklar elde edilebilmektedir.

Gerekli diğer kısımlarında ilavesiyle, optik kaynak ve algılayıcılara sırasıyla vericiler ve alıcılar denebilir. Aşağıdaki kısımlarda alıcı ve vericilerin bazı karakteristikleri tartışılmıştır.



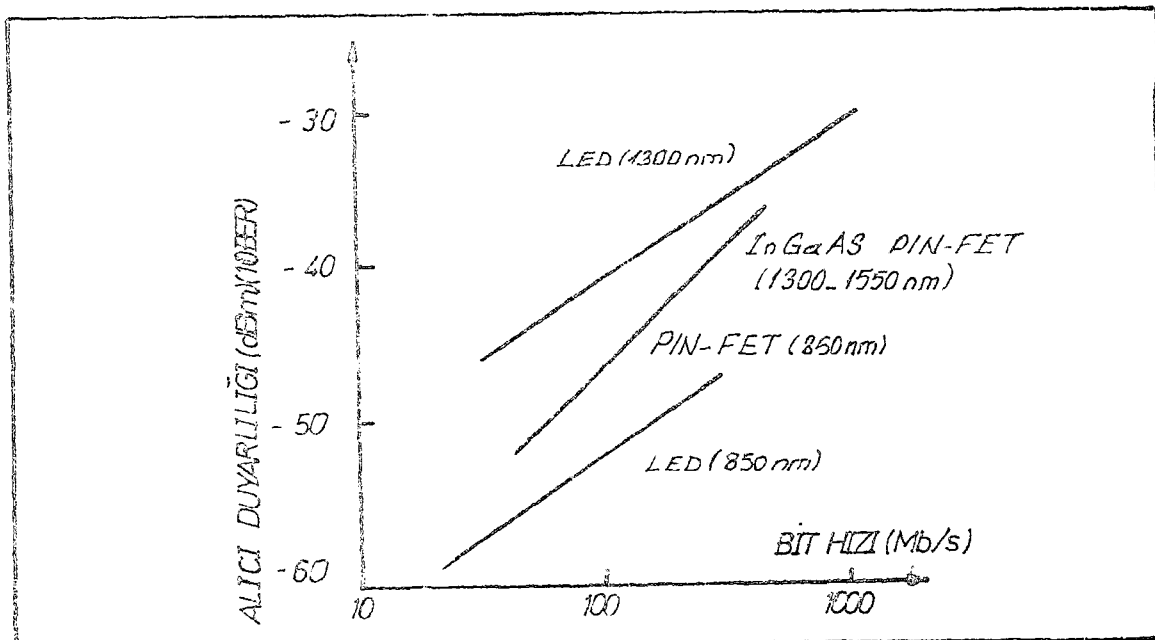
Şekil: 3.8 Absorbsiyon - Doğal Emisyon - Uyarılmış Emisyon

#### 4.6. ALICI DUYARLILIĞI dBm:

Duyarlılığın kalitesi daima nata oranına göre kıyas edilir ve sayısal sistemler de bu hata oranı, bit hata oranı (BER) olarak tanımlanır. Pratikte BER 10E-9 olması istenir. Buna göre bir optik alıcının duyarlılığını, BER 10E-9 olmasını sağlayacak biçimde alıcının girişine kabul edebileceği min. optik güç olarak tarif edebiliriz. Gerçekten de, alıcı girişine gelen optik güç seviyesi bu duyarlılık değerinden daha küçük olduğu takdirde bit hata oranı istenilen değerlerden daha büyük olabilecektir ki, bu da istenmeyen bir durumdur. Şekil: 3.9'de alıcı duyarlılığı üzerine tipik değerler verilmiştir.

**NOT:** 1. pencerede (850 nm) çalışan alıcılar. 2. pencerede (1300 nm) çalışan alıcılardan daha iyi duyarlılık değerine sahiptirler.

Duyarlılık, sistemin hızı yani bit oranı arttıkça azalır.



Şekil: 3.9 Alıcı Duyarlılığı üzerine tipik değerler.

#### 4.7. VERİCİ GÜCÜ dBm:

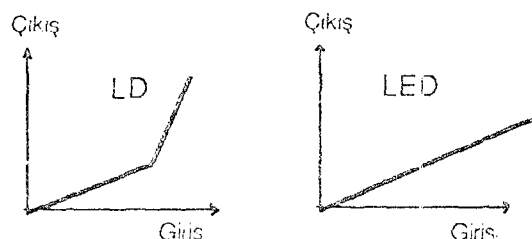
Telekomünikasyon uygulamalarında kullanılan vericilerin, fiber lifin içine kuple edebildiği optik güç bugün için 0 dBm ya da 1 mW'dan daha azdır. Lazer diyodların verimi LED'lere nazaran çok daha yüksektir. LED'lerin tipik olarak fibere kuple edebildikleri güç -20 dBm civarındayken laser diyodları en az -5 dBm kadar kuple edebilmektedirler.

#### 4.8. SPEKTRAL GENİŞLİK Spectral Width, nm:

Bütün kaynaklar belli bir merkez çalışma dalga boyu etrafında dağılmaya sahiptir. Daha önce bahsedildiği gibi darbe dağılıması sistemin bilgi taşıma kapasitesi ya da hızını sınırlayan bir faktördür. Kromatik bozulmadan gelecek zararlı etkiler, mümkün olduğu kadar monokromatik olan kaynaklar kullanılarak azaltılmasına çalışılır. Laser diyodları çok dar spektral genişliğe sahiptirler ki tipik değeri birkaç nm dir. LED'lerde ise tipik olarak 100 nm, civarındadır.

#### 4.9. OPTİK GÜCÜN SÜRME AKIMINA BAĞIMLILIĞI:

LED'ler kendilerini süren akıma karşı lineer bağlı bir optik güç verirler, ancak Laser diyodları lineer olmayan bir cevaba sahiptirler. Belli bir eşik akımının altında LED gibi davranışırlar. Bu eşikin aksine normal Lasar gibi çalışır. Laser diyodonun eşik akımı sıcaklık ve süreyle değişir. Bundan dolayı LD'larının çalışma ortamı sıcaklığı ile çıkış güçlerini kararlı hale getirecek önlemler alınmalıdır.



Şekil: 3.10 LED ve Laser diyodu giriş-çıkış eğrisi.

#### 4.10. MODÜLASYON FREKANSI MHz

Laser diyodları doğal yapıları itibariyle LED'lerden daha hızlıdır. LED'ler için tipik çalışma hızları 100 MHz civarındayken Laserler için bu bir kaç GHz olabilmektedir.

#### 4.11. LED

Kendiliğinden emisyonla ışık yayan bir yarı iletken diyod olarak LED (ışık yayan diyod) adlandırılır. Elektrik akımının ışığa dönüşümünün kalitesi harici quantum verimliliği ile tanımlanır ki, yarı iletken diyodta birleşimine geçen yük taşıyıcıları sayısına bağlı olarak, birim zamanda yayılan fotonların sayısı ile tanımlanır. (Ga As için tipik olarak 0,5%-1,0%) sıcaklık artışıyla quantum rastgeleminin düşmesi sebebiyle, birleşim bölgesinin ısıtılmasından kaçınılmamalıdır. Yani oluşan ışının dağıtıımı sağlanmalıdır. Örneğin LED'in kontrüksiyonu gibi.

LED'in çalışması için yayılan ışığın dalga boyuda önemlidir. Bu genelde Eg enerji bölgesi (duvarı) ile tesbit edilir, aşağıdaki bağlantı uygulanır.

$$\lambda = 1.24 \quad \lambda = \text{um olarak dalga boyu}$$

$$Eg \quad E_g = \text{Enerji bölgesi (Duvarı) Ev}$$

$$\hbar v = 1.24$$

Galyum Arsenid (Ga As) için Eg değeri (Oda sıcaklığında) 1,43 eV dir.  $\lambda$ 'da 0,89 um olarak bulunur.

İndiyum Fosfat (InP) için;

$Eg = 1,35$  eV ve buna karşılık gelen  $\lambda = 0,92$  um olarak bulunur.

Bir LED'in spektral genişliği  $\Delta\lambda$  yaklaşık olarak dalga boyunun karesi ile orantılıdır. Böylece büyük dalga boylarına doğru spektral genişlik çok büyür.

Bir LED'in cevap verme süresi oldukça önemli karakteristiktedir. Bu yükselme zamanına bağlıdır. Bu limitin altında, diyod enjekte edilen akımdaki, değişiklikleri takip edemez. Tipik minimum ömrü birkaç nanosaniye mertebesindedir. Bu  $d = 100$  MHz lik modülasyon band genişliğine takabül eder.

Yükseleme zamanı ve quantum, verimliliği boşluk, konsantrasyonuna bağlı olduğundan, ikisi aynı anda optimize edilemezler. Özellikle hızlı LED'ler enjekte edilen akıma bağlı olarak bir kaç foton yayarlar.

Yapı ve Karekteristikler

Aşağıda, verici diyodların birçok ihtimallerinden 3 örnek verilmiştir. Bunlar;

$\lambda \sim 900$  nm için Planar Ga As diyod

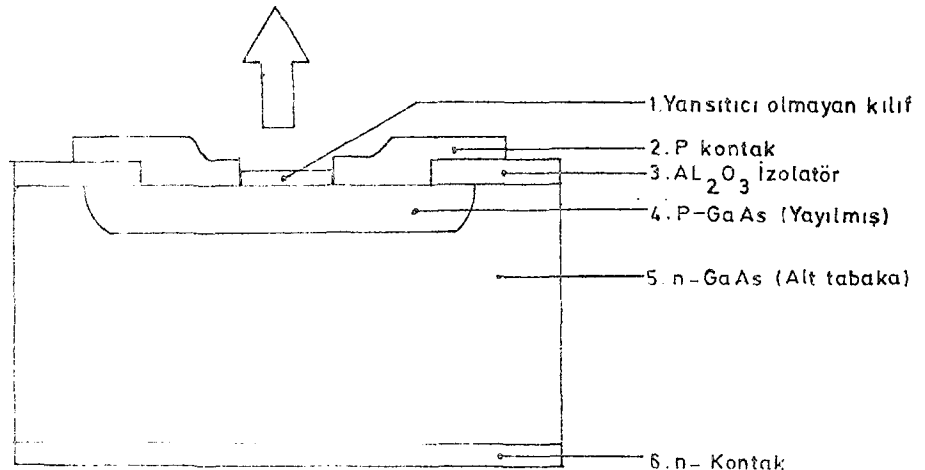
$\lambda \sim 830$  nm için Yüksek Parlaklık Al Ga As/Ga As diyodlar

$\lambda \sim 1300$  nm için Yüksek parlaklık In Ga As P/ In P diyodlar

Tablo 3.1 de tipik değerler listelenmiştir.

-880-950 nm dalga boyu için Ga As diyod

Ga As diyodu verici diyodlarının en basit yapısına haizdir. (Şekil: 3.11) Diyod, Ga As tabaka temel ve onun üzerinde 200 um kalınlığında P tabakadan meydana gelmiştir. P anaında üretilip P yüzeyinden yansyan infrareç ışık fiber optiğe gönderilir.



Şekil 3.11 Düzlemsel bir GaAs diyodum Şematik yapısı

800-885 nm dalga boyu için yüksek parlaklı Al Ga As/Ga As diyod (Burrus tipi)

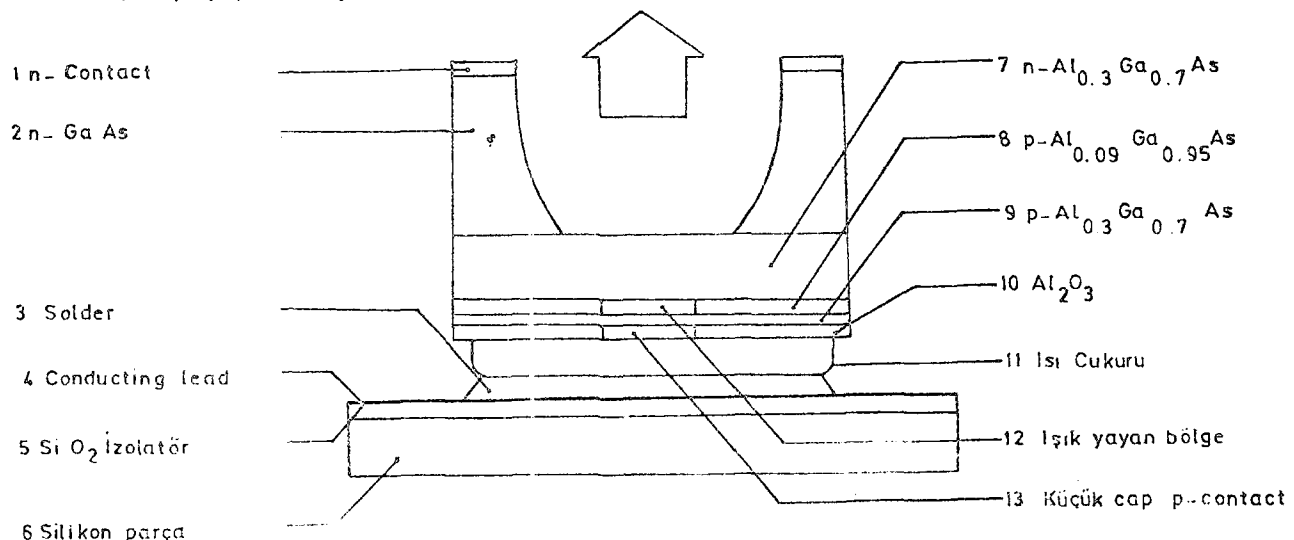
Diyod, bir cuboid yarı iletken kristalinden oluşur. Bir çift zit yapı, farklı kalınlıklarda 3 Al Ga As tabakasından oluşur.

Aşağıya doğru bakan bu düzgün sıralı 3 tabaka araya yerleştirilmiş, perçin şekilde altın soğutucu iki diyod iletken bir kontak ve  $\text{SiO}_2$  izalatörle silikon chip'e lehimlenir. Kristal diyodum alt tarafında, bir  $\text{Al}_2\text{O}_3$  izolatörü küçük yüzey alanı ile P kontağa akım akışını sınırlar.

Kalınlık ve özellikle üstünü kaplayan, Al Ga As doping seviyesi, çok düşük ölçülemeyecek kadar, akım akacak şekilde seçilirler. Sonuç olarak, P kontağın biraz daha, geniş çaplı alanında, aktif Al Ga As tabaka emisyon için uyarılır. Böylece istenilen küçük yayma (Emilting) alanı temin edilir. (Şekil 3.12)

Ga As alt tabaka yukarıya doğru yayılan intraret ışığı fiber optigin içerisinde gönderilir. Bu yayılma aktif tabaka çok ince olduğundan, önemsenmeyecek kadar, içerisinde kendiliğinden absorbe olur.

Ga As alt tabaka içerisinde, yalnız birkaç mikrometre içerisinde tamamen absorbe olmasına rağmen Al Ga As içerisinde, boydan boya absorbe olmadan geçer. Ne kontak geriye kalan Ga As malzemeye uygulanır. Bu yapının bir avantajı var ki, küçük yüzey alanlı P kontağı yardımıyla, küçük ışık yayan alan yaratılabilir. [6]



Şekil 3.12 Yüksek ışimalı Al Ga As'ın Şematik yapısı.

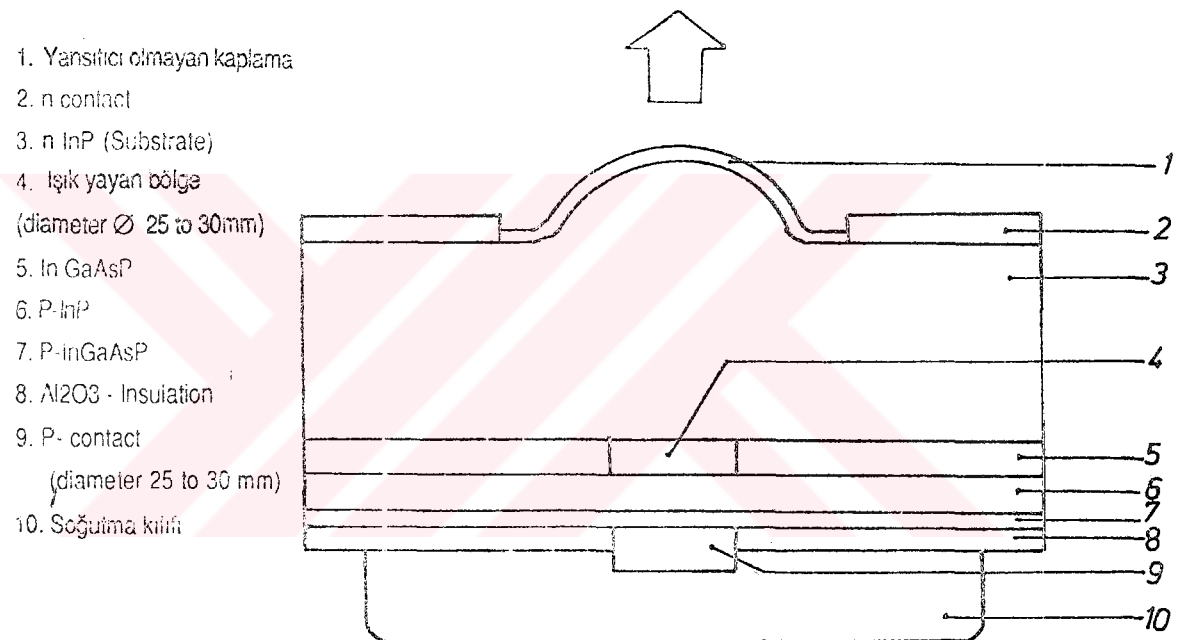
-1300 -1550 nm dolayındaki dalga boyu için yüksek parlaklı In Ga As P/ In P diyodları.

Verici diyodları "ikinci percere" (1300 nm) için, malzemedede bir değişiklik, üçlü yarı iletgenden Al Ga As'den dörtlü yarı iletken In Ga As P ve LnP alt tabaka kristalı yapılmalıdır.

Basitçe, dörtlü yüksek parlaklı diyodların yapısı (Şekil: 3.13) Al Ga As / Ga As diyodlarına karşılık gelir.

In Ga As P'den yapılmış bir yarı iletken 1300 nm dalga boyunda ışık yayar ve bu InP'ye eş uyumludur. Böylece çift zıt yapı, yeniden kullanılabilen verici diyodları için çok etkilidir. İçerisindeki InP bariye (Engel) rolü oynar. In Ga AsP'de P endirilmiş tabakasının fonksiyonu, bir kontakt (iletken) tabakadır.

Temel malzeme, ışığı fiber optik içerişine gönderme yeteneğini artırmak için birleşik lens şeklini alır.

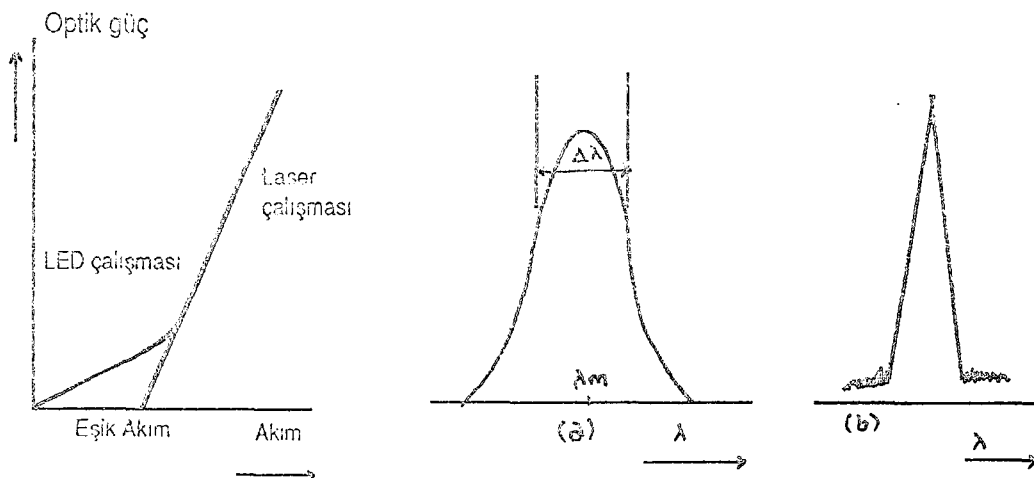


Şekil: 3.13 In Ga As P / In P Yüksek İşimalı Diyodonun Şematik Yapısı.

#### 4.12 LASER DİYOD

Bir laser diyođ, zorlanmış emisyon kullanan bir ışık kaynağıdır. Laser, Light (Işık) Amplification (Amplifikasyon) by stimulated (Zorlanmış) Emission (Emisyon) Of radiation (Işıma) yüksek akım yoğunluğu boyunca, laser içerisinde iletkenlik bandında çok miktarda aşırı yük taşıyıcısı üretilir. Böylece güçlü bir zorlanmış emisyon meydana gelir. Bu amplifikasyon fotonlar üzerine etkisi bi-optik resonatörle ki, bu resonatör genellikle yarı şeffak paralel iki aynadan oluşur, güçlendirilirler, laser diyođ içerisindeki bu aynalar yüzeyleri yarı iletken çatlamasıyla - yarılmalarıyla ve ilave koruyucu tabaka sağlanmış, tabi kristal yüzeyleridir.

Laser diyođ ve LED diyođ arasındaki farklı göstermek için, Şekil: 3.14 tipik bir ışık akım karakteristik eğrisini göstermektedir. Diyođ akımı artırıldığından threshold (kırılma noktası) kristal içerisinde ışık amplifikasyonunun bağlayacağı noktaya yaklaşır ve bunun yukarısında güçlü laser ış emisyonu başlar. LED diyođlarının geniş spektral dağılımlarıyla kayıtlı olduğunda laser işlemindeki emisyon çok dar bir veya yalnız birkaç spektral hattan olur. (Şekil: 3.15)



Şekil: 3.14 Bir Laser

Diyodun Işık-Akım Karakteristiği.

Şekil: 3.15 Bir LED (a) ve bir Laser (b)

Diyod emisyonunu Spektral dağılımı.

Bir verici spektrum genişliği genellikle yarı maksimum güçteki (FWHM) tam genişlik  $\Delta\lambda$  veya tam etkin değeri (FRMS)  $\Delta\lambda_{(FRMS)}$  olarak verilir, burda, gaus şekilli spektrum için aşağıdaki bağıntı uygulanır;

$$\Delta\lambda = \sqrt{\ln 4} \Delta\lambda_{(FRMS)} \approx 1.18 \times \Delta\lambda_{(FRMS)} \text{ veya}$$

$$\Delta\lambda_{(FRMS)} \approx 0.85 \times \Delta\lambda$$

Bir LED emisyonun bir laser ışınıyla kıyaslandığında zorlanmış emisyon nedeniyle laser ışınları boşlukta birbirlerine daha yapışktır.

Yayılan hüzme LED diyodunkinden oldukça dardır ki, ışığı fiber optik içeresine etkili göndermeyi kolaylaştırır. (Şekil:3-16)

Laser diyodalar yapılarına göre iki gruba ayrırlarlar ve laser içerisinde dalga kılavuzu yan daralma tipi tarafından karakterize edilirler. Her tiptek (gruptan) en çok kullanılanlar birçok tiplerin örneği olarak tarif edileceklerdir.

#### Kazanç Gündümlü (Klavuzlu) Laser Diyodalar (GLD) (Şekil: 3.17)

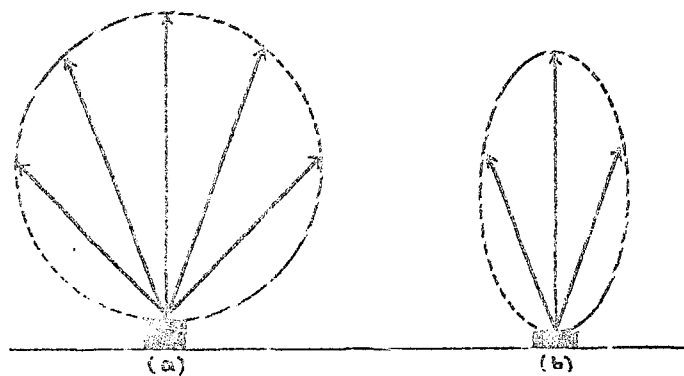
Örnek 800 - 900 nm dalga boyu için oksit çizgili GaAlAs / GaAs laser. Bu index biçimini sapması optik amplifikasyon biçimine tekabül eder ve bu kazanç oiarakta bilinir. Böylece bu tip laser diyodalar, kazanç gündümlü kontrolü laser diyodalar olarak bilinir.

#### Index Klavuzlu Laser diyodalar (iLD) (Şekil: 3.18)

Örnek 1300 -1600 nm dalga boyu için GaInAsP / InP - MCRW (Tepesi metal kaplı dalga kılavuzlu) Laser

Dalga kılavuzları içerisinde yapılmış laser diyodları index gündümlü laser diyodları (ILD) olarak adlandırılırlar, çünkü onların daimi kalıcı index kaymaları - biçim sapmaları vardır.

Şekil: 3.19 ışının, bir LED ve laser diyodda optik güç ve akıma etkisini gösteriyor. Tablo 3.1'de de digital optik iletişim için laser diyodlarının 25 °C deki tipik bazı değerleri ve karakteristikleri verilmiştir. [3,6]



Şekil: 3.16 Bir LED (a) ve Laser (b) Emissionının boşluktaki dağılımı.



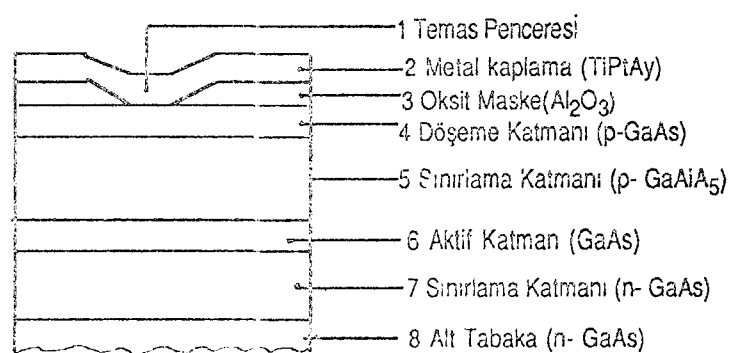
Tip	Dalga Boyu (nm)	Spektral Genişlik (nm)	Yarileşken Matçde	Yapı	Yayılır	Yükselme Zamanı	Bir OWG içine atılmış olan	Mbit/s hızındaki iletim
LD	880-885	35	GaAlAs/GaAs	Çift hetero	Ardışık	1	15	—

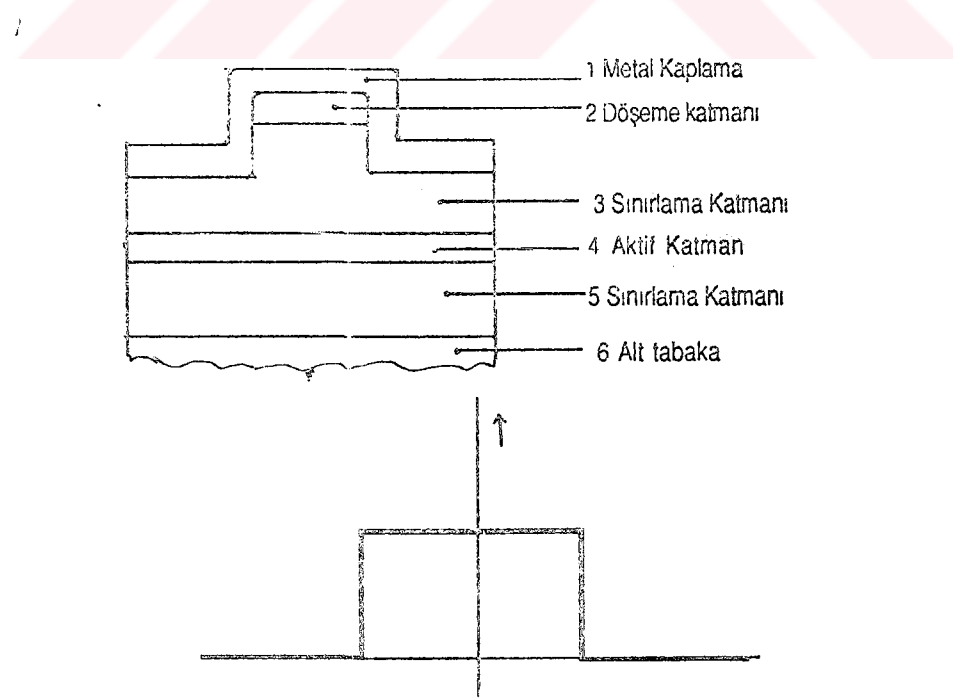
Tip	Dalga Boyu (nm)	Spektral Genişlik (nm)	Yarileşken Matçde	Yapı	Yayılır	Yükselme Zamanı	Bir OWG içine atılmış olan	Mbit/s hızındaki iletim
LD-MCRW 1300-1550 <sup>a</sup>	35	GaInAsP/InP	Çift hetero	Ardışık	1	1.3	0.5-1.5	-3 Km 1200

- a) Geliştiriliyor  
 b) Bit hızı ve uzunluğunun üretimi sabittir.

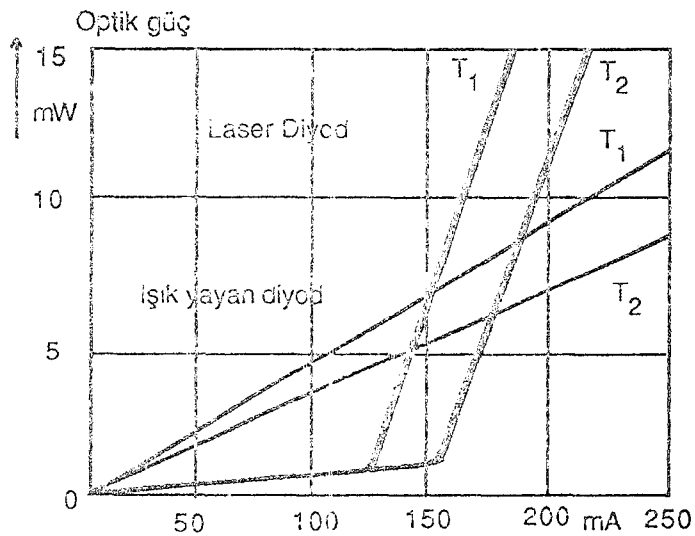
Tablo 3-1 Laser diyod karakteristikleri



Şekil: 3.17 Bir çubuk oksit Laserin yapısı ve dalga klavuzlama mekanizması



Şekil: 3.18 Bir MCRW Laserin yapısı ve dalga klavuzlama mekanizması



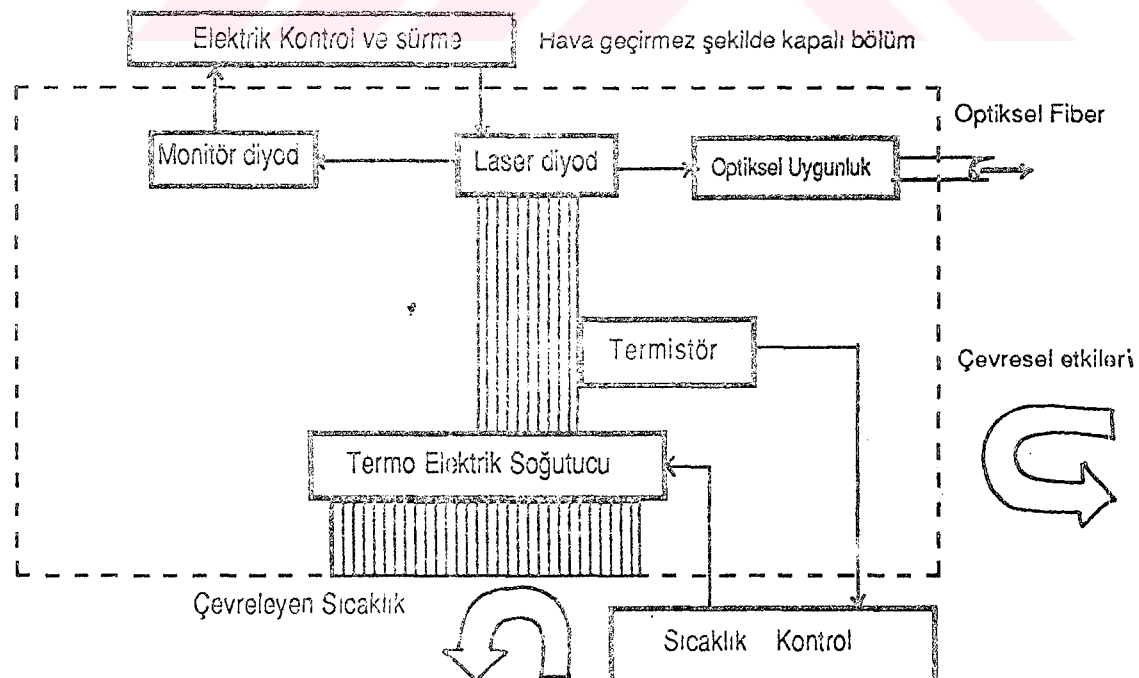
Şekil: 3.19. Isının, bir LED ve laser diyodda ileri yönde akım optik güç ve akım etkisini gösteriyor.

#### 4.13 LASER MODÜLÜ

Laser diyodlarının pratik olarak çalıştırılabilmesi bazı fonksiyonel grubları gerektirir. Bunlar sızdırmaz bir hücre içerisinde yerleştirilirler ve bu birimlerin hepsi laser modülü olarak adlandırılırlar.

Modül sızdırmazlığını sağlayan bir diyodon ışık yayan yüzeyini optimum olarak kuple eden ışığı dışarıya besleyecek -gizleyecek bir adaptör modül içerisinde yer alır.

Isı kontrol fonksiyonu oldukça önemlidir. Peltier soğutucuları bu amaç için kullanılır.



Şekil: 3.20 Bir Laser Modülünün modüler tasarımlarını gösteren şeması.

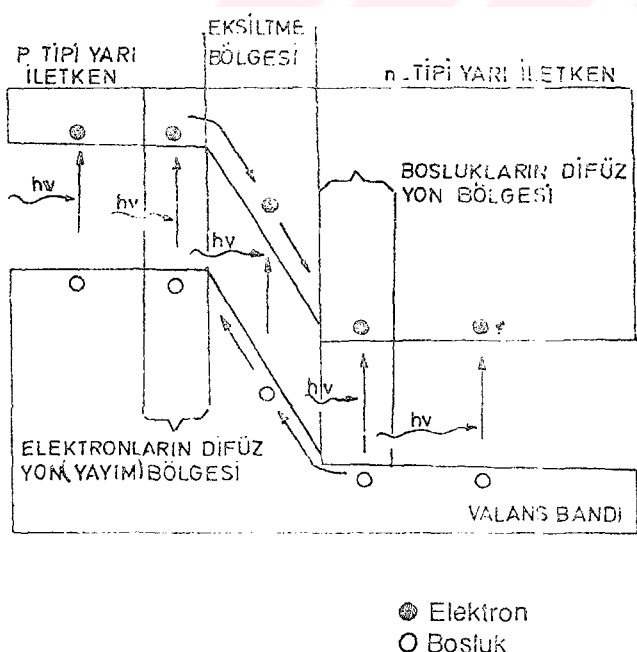
#### 4.14. DEDEKTÖRLER

Bir fotodiyon, yarı iletken içerisinde ışık ışınlarının yutulması etkisinden faydalananır. Bu etkide, enerji yüklü fotonların enerji aralığı  $E_g$ 'den daha yüksek enerjiyle ışınlanması bir çift elektron boşluğu yaratır ve bu elektriğin iletilmesinde kullanılır. Teoride, yarı iletken PN birleşimleri yalnız ışık endeksiyonu boyunca taşıyıcıları uyarmak için değil, ışığı almak için kullanılabilirler. Şekil: 3.21 (a) bu işlenen şematik olarak verilmiştir.

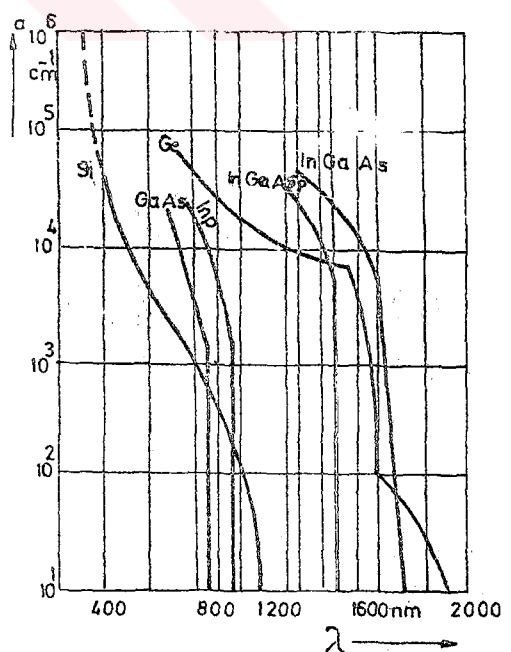
PN birleşiminin depletion tabakasında üretilen yük taşıyıcıları ve difuzyon bölgesindeki yük taşıyıcıları tedekte edilebilirler. Evvelce üretilen iki yük taşıyıcısının, depletion tabakasındaki elektrik alanı tarafından hemen ayrılmasına rağmen, daha sonra azınlık yük taşıyıcıları depreletion tabakası tarafından dışarı çekiliip, karşı nötr yarı iletken bölgeye gönderilmeden önce, ilk önce PN birleşimine difuz etmelidirler.

Bu iki işleminden dolayı elektrik akımı daha dışardaki daireden akar. Bu tip aliciların üretimi için, silikon ve germanyum veya 3 -4 -5 maddeleri bileşimleri çok sık kullanılırlar. Şekil: 3.21(b) çok sık kullanılan yarı iletken maddelerin dalga boyu  $\lambda$ nın bir fonksiyonu olarak yutum-absorption katsayıları  $\alpha$  yi gösteriyor.

Şekil: 3.21 (b) den görüleceği gibi Si, 1000 nm altındaki değerler için çok uygundur. Daha yüksek dalga boyları için Ge daha avantajlıdır. 1300'den 1600 nm'ye kadar bir foto diyod malzemesi olarak InGaAs veya InGaAsP çok uygundur. [8]



Şekil: 3.21 (a)



Şekil: 3.21 (b) Yarı iletken maddenin dalga boyunun fonksiyonu olarak yutum-absorption katsayıları.

#### 4.15: PIN FOTODİYOD

Düşük yutum katsayılı yarı iletkenlerde, P ve N tipi yarı iletkenler arasında undoped yarı iletken tabakanın yerleştirilmesi ışıma yutumu için alanı genişletir.

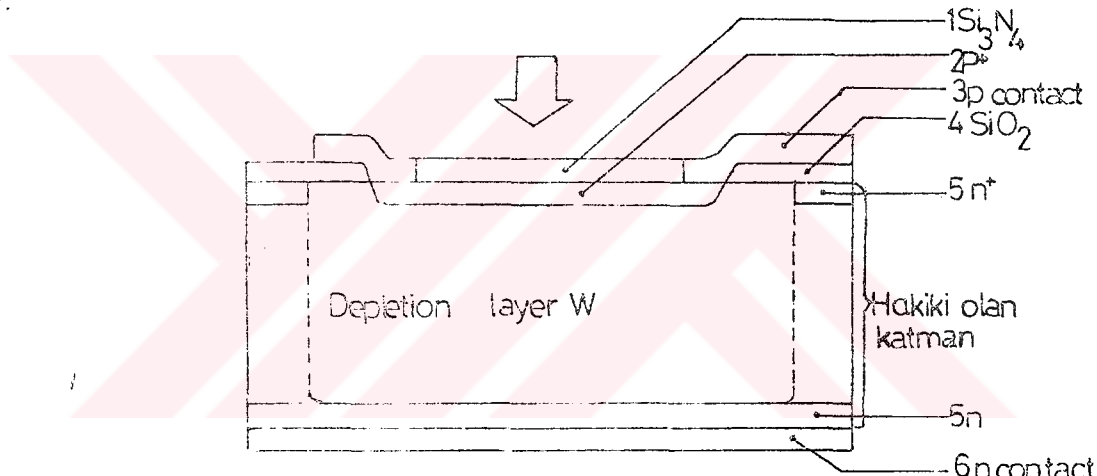
##### a) Silikon Fotodiyodlar (1100nm'ye kadar dalga boyları için)

Şekil: 3.22, bir  $pvn^+$  yapılı bir diyodonun tasarım şemasını gösteriyor ki, v iletken olmayan i-bölgесini gösterir. Infrared ışık diyodu p-döлgesi boyunca geçer ve  $Si_3N_4$  kaplı yüzeyi yansırma kayıplarını önlüyor.

PIN fotodiyodlarının hassasiyetini artırmak için FET transistörleri kullanılabılır. Bu PIN-FET modüllerinin hybrid dizayn çok yüksek hassasiyete ulaşabilir.

##### b) Avalanche Fotodiyodalar

Elektrik alan içerisinde yük taşıyıcıların hızlandırılması, çarpması ionizasyonu ile daha fazla yük taşıyıcı üreterek yüksek hızda ulaşlığında, oldukça güçlü foto akımı yaratılır. Bu işlem kırılma olarak adlandırılır ve APD (avalanche photodiode) olarak adlandırılan fotodiyoda karşılık gelir.



ŞEKİL: 3.22. Bir  $pvn^+$  yapılı diyodonun tasarım şeması.

##### - Silikon Avalans (APD) (1100 nm'ye kadar dalga boyları için)

Basitçe, yukarıda anlatılan PIN fotodiyodu bir alavalans diyodu olarak çalıştırılabilir. Avalans kırılması için ihtiyaç olan yüksek alan'a ulaşmak için gerekli olan gerilim çok yüksektir.

Bir APD diyodunun tasarım Şekil: 3.23'da gösterilmiştir. Teknik sebeplerden dolayı bu tip diyodlar yalnız  $p^+np$  dizaynında yapılabilirler.

Şekil: 3.24, silikon PIN fotodiyodu ve  $10^{-9}$  hata oranındaki bir APD alıcılarının hassasiyetlerinin kıyaslanması gösterilmektedir.

##### - InGaAs/InP Avalans Fotodiyodları. (1300 nm Dalga Boyları İçin)

Şekil: 3.25'de bu diyodonun tasarım şeması gösterilmiştir. Tam PIN diyodındaki gibi ışıma alt tabakada olur, lakin PN birleşim InGaAs tabakada değil InP tabakasındadır.

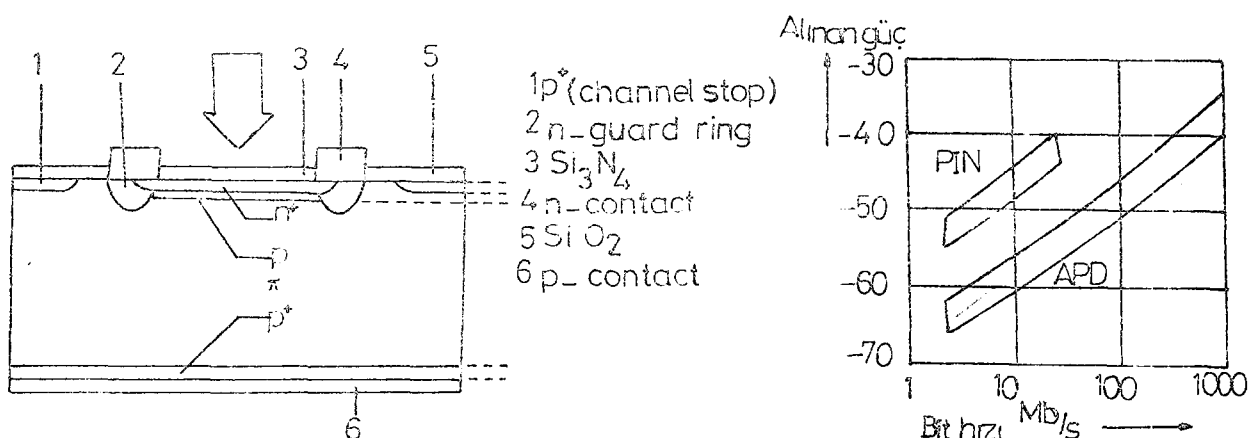
Sonuçta, yüksek güçlü elektrik alanı bölgesi n-InP tabakasında oluşur ki, burada avalans kırılması çok kolay başanılır. Fotoniar tarafından üretilen başlıklarını toplamak için, InGaAs tabakasında düşük güçlü elektrik alanı oluşturmak gereklidir.

##### 1300 nm Dalga Boyu İçin Diğer diyodlar:

- Germanium avalans foto diyodları, bir APD'nin üretimi nispeten kolay, fakat teknolojik

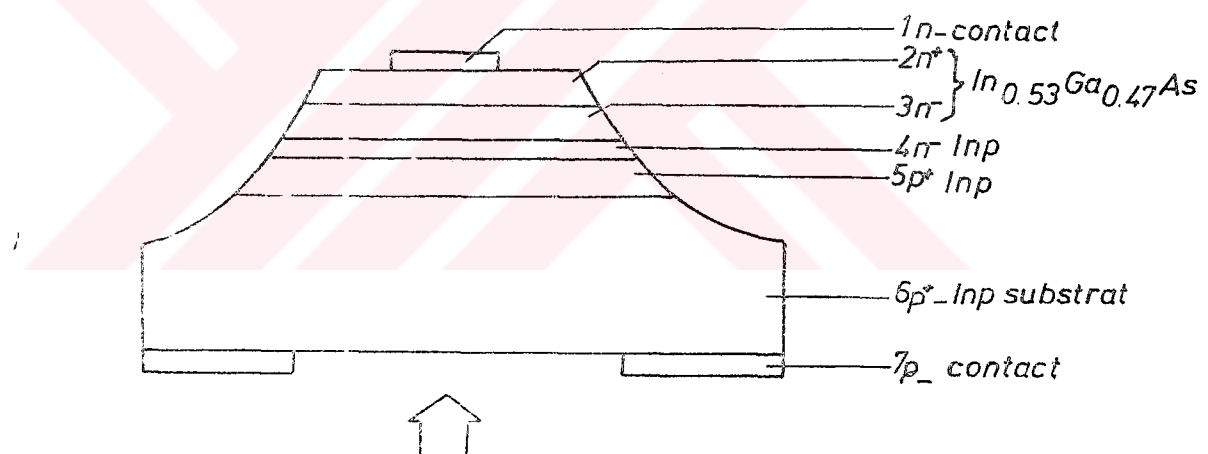
olarak daha az önemlidirler.

- InGaAs/InP fotodiyodunun bir GaAs-FET ile kombinasyonu.



Şekil: 3.23 Silikon avalans diyodunun tasarım şeması.

Şekil: 3.24 Bir APD ve PIN fotodiyodunun hassasiyeti.



Şekil: 3.25. InGaAs/InP Avalans diyodunun Tasarım Şeması.

Tip	Dalga Boyu (nm)	Yarıiletken Yapı Maddesi	Kuvetlendirme	Spektral Duyarlık (A/W)
PIN-PD	400-1000	Si	Planer/PIN	None
APD	400-100	Si	Planer	X10-X100
PIN-PD	1300	Ge	Mesa/palaner	None
APD	1300	Ge	Mesa/planer	X10 0.7-0.9
PIN-PD	900-1600	InGaAs/InP	Mesa/planer	None
APD	900-1600	InGaAs/InP	Mesa/planer	X10-X50

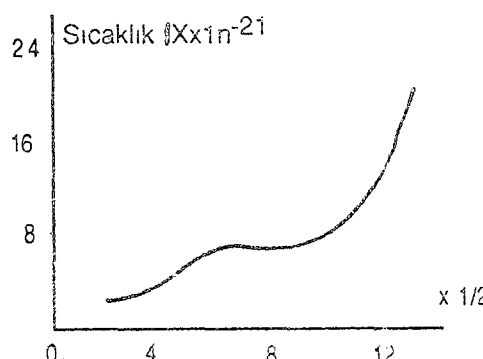
Tablo: 3.2 APD<sub>S</sub> nin karakteristiklerini verir.

#### 4.16 RCA C3.818E SİLİKON (APD) DİYOD VE ÖZELLİKLERİ

ELEKTRİKSEL ÖZELLİKLER 25°C'da	FOTODİYOD BİAS VE AMPLİFİKATÖR VOLTAJı $\pm 6$ VOLT	BİRİM
RESPONSİBİLİTE		
At 900 nm .....	MIN. $2.4 \times 10^5$	TYP. $3.9 \times 10^5$
At 1060 nm .....	$6.0 \times 10^4$	R $9.7 \times 10^4$
Gürültü eşdeğer gücü (NFEP)		
$f=100\text{KHz.}$ , $F_0$		
$\Delta f=1.0\text{Hz}$		
At 900nm .....	—	$3.8 \times 10^{-14}$
At 1060nm .....	—	$1.6 \times 10^{-13}$
ÇIKIS		
Gürültü voltagı		
YOGUNLUK		
$f=100\text{KHz.} = 100\text{MHz}$		
$\Delta f=1.0\text{Hz}$		
Cıktı empedansı	—	$1.5 \times 10^{-8}$
Sistem Bandwidth fo 3 db point	35	50
LINEERLİK SAHASı		
Yükselme zamanı		
$RL=50\Omega$		
$\lambda=900$ ve $1060\text{nm}$		
DÜŞME ZAMANI		
$RL=50\Omega$		
$\lambda=900$ ve $1060\text{nm}$		

Şekil: 3.26 RCA C3.818E silikon APD'nin elektriksel karakteristikleri

Yarı iletken çığ fotodiyoqlarda (APD) iki temel gürültü kaynağı vardır. Bunlar ısıl gürültü ve shot gürültüdür. ısıl gürültü işaret akımından bağımsız olmasına karşılık, shot gürültü işaret akımına bağlıdır. Akım ve işaretin band genişliği, alıcının işaret gürültü oranı (SNR) belirlemekte kullanılır. İşaret gürültü oranı, ortalama işaret gücünün, gürültü kaynaklarının oluşturduğu ortalama güç oranıdır. Şekil: 3.27'de, kullanılan optik alıcının işaret gürültü oranı değişimi verilmektedir.

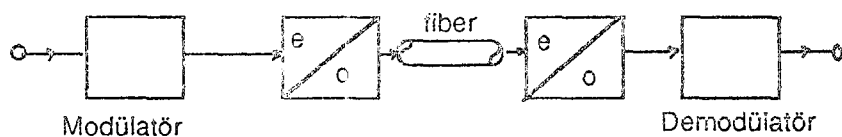


Şekil: 3.27: RCA C30818E'nin işaret gürültü oranı.

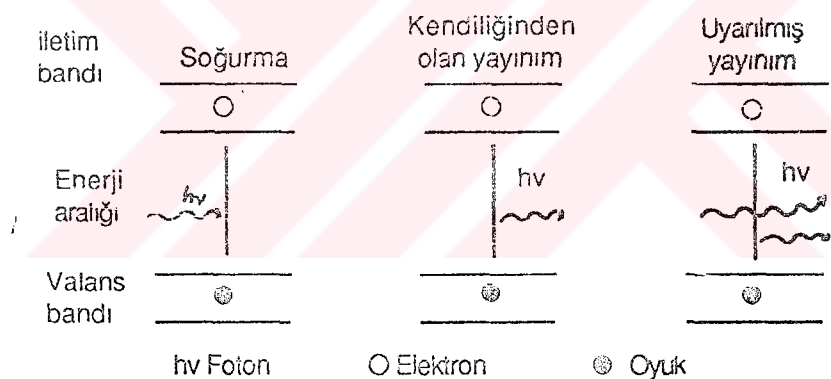
Çalışmada optik lif olarak RS Components'in nüve çapı 1 mm, sayısal açılığı 0.47 olan ve görünür dalga boyalarında çok kuşanışlı polimer kablosu kullanılmıştır. 665 nm de zayıflaması 200 dB/km dır. Koruma amacıyla siyah polietilenle kaplı kablonun minimum büükülme yarıçapı 15 mm dir, çalışma sıcaklık aralığı -30°C ile +95°C arasındadır. [9]

## 5. OPTİK SİNYALİN DÖNÜŞTÜRÜMESİ

İşik sinyallerini bir fiber optikle göndermek için, fiber optigin başlangıcında ve sonunda, elektrik sinyallerini optik, optik sinyalleri de elektrik sinyallerine dönüştürecek uygun verici ve alıcı elemanları ihtiyaç vardır.



Şekil: 4.1 Fiberi-Optik Transmisyon Şeması



Şekil: 4.2 Bir yarı iletkende Elektro-Optik İlişkiler.

Verici tarafında, bir elektrik şınyalı ışık kaynağının şiddetini modüle eder. Optik sinyal fiber optige kuple edilir (Aktarılır) ve böylece alıcıya verir. Foto alıcı buna tekrar bir elektrik sinyaline çevirir.

Yarı iletken teknolojisinde özellikle 3.4.5 maddelerin elektro-optik dönüştürücüler (Transduser) ve onların alaşımının kullanımı olduğu görülmüştür. Bunlar, örneğin tablo 3.1 deki periyodik grubun 3.4 ve 5. elementleri Ga As P/In P yarıiletkenlerin valans bandı isimli iki enerji sahasının alanını içerir. Bunlar birbirinden Eg enerji duvarı ile ayrırlar. (4-2)

Yarı iletken içeresine giren bir foton kendi enerjisi  $h\nu$ 'yi valans bandındaki bir elektrona bırakır. Böylece elektron yüksek enerjili iletkenlik bandına yükselir. İşlemenin devamında foton kaybolur ve valans bandtan ayrılır. Elektronun yerinde pozitif boşluk olarak bilinen bir boşluk oluşur. Bu elektro-optik olaylardan bir tanesidir. (Şekil:4-2)

Eğer iletkenlik bandının elektron dağılım dengesinde fazla elektron varsa, bu elektron valans bandı geri düşer. Böylece her elektron için bir foton yarı iletkenden dışarı çıkararak yayılır.

Bu işlem aşırı şarj taşıyıcılarının yayılımının tekrar bileşimi olarak bilinir. Çünkü bu işlemde fazla elektronlar ve boşluklar azalır. Bu kendiliğinden emisyon veya ışık yayma olarak adlandırılır. (Şekil: 4-2)

Fotonlar yarı iletken içerisinde, aşırı yük taşıyıcılarının çok miktarda tekrar, birleşmesine sebep olduğunda, zorlanmış emisyonlar oluşur. (Şekil: 4-2) Yani fotonların emisyonu azalır. Bu durumda önen, neşredilen yayılımın kendisini uyararak yayılımın, faz ve dalga boyuna eşit olusudur. Bu 3 işlem dairna birinin kontrolü ile aynı anda oluşur ve teknik olarak kullanılabilir. Foto diyon yutumdan (Emmeden) faydalanan, ışık yayan diyon zorlanmış emisyon kullanır ve laser diyodu zorlanmış emisyondan yararlanır.

İçerisinde elektrik akımı elektronlar tarafından iletilen (Negatif yükle parçacıklar) yarı iletkenler N tipi olarak adlandırılır. P tipi yarı iletkenlerde elektrik传递 boşluklar (Pozitif yüklü taşıyıcılar) la yapılır. P ve N tipi yarı iletkenliğin birleşiminde diyon oluşturur.

## 5.1 VERİCİLER

Fotonların yayılmak için zorlanmış veya kendiliğinden emisyon sağlayabilmesi için aşırı yük taşıyıcıları yarı iletken içeresine verilmelidir. Bu, yük taşıyıcılarının bir PN birleşimi yoluyla enjekte edilmesiyle sağlanır. Eğer PN birleşimi ileri yönde çalıştırılırsa, P tabakasına ilave elektronlar ve N tabakasına bu ilave holelar (boşluklar) enjekte edilir ki, bunlar foton yaymak için kullanılır.

Emisyonla birlikte yük taşıyıcıları enjeksiyon işlemi, enjeksiyon aydınlanması olarak adlandırılır. Bu vericilerde, örneğin LED'lerde ve laser diyodlarda uygulama alanı bulur. [4]



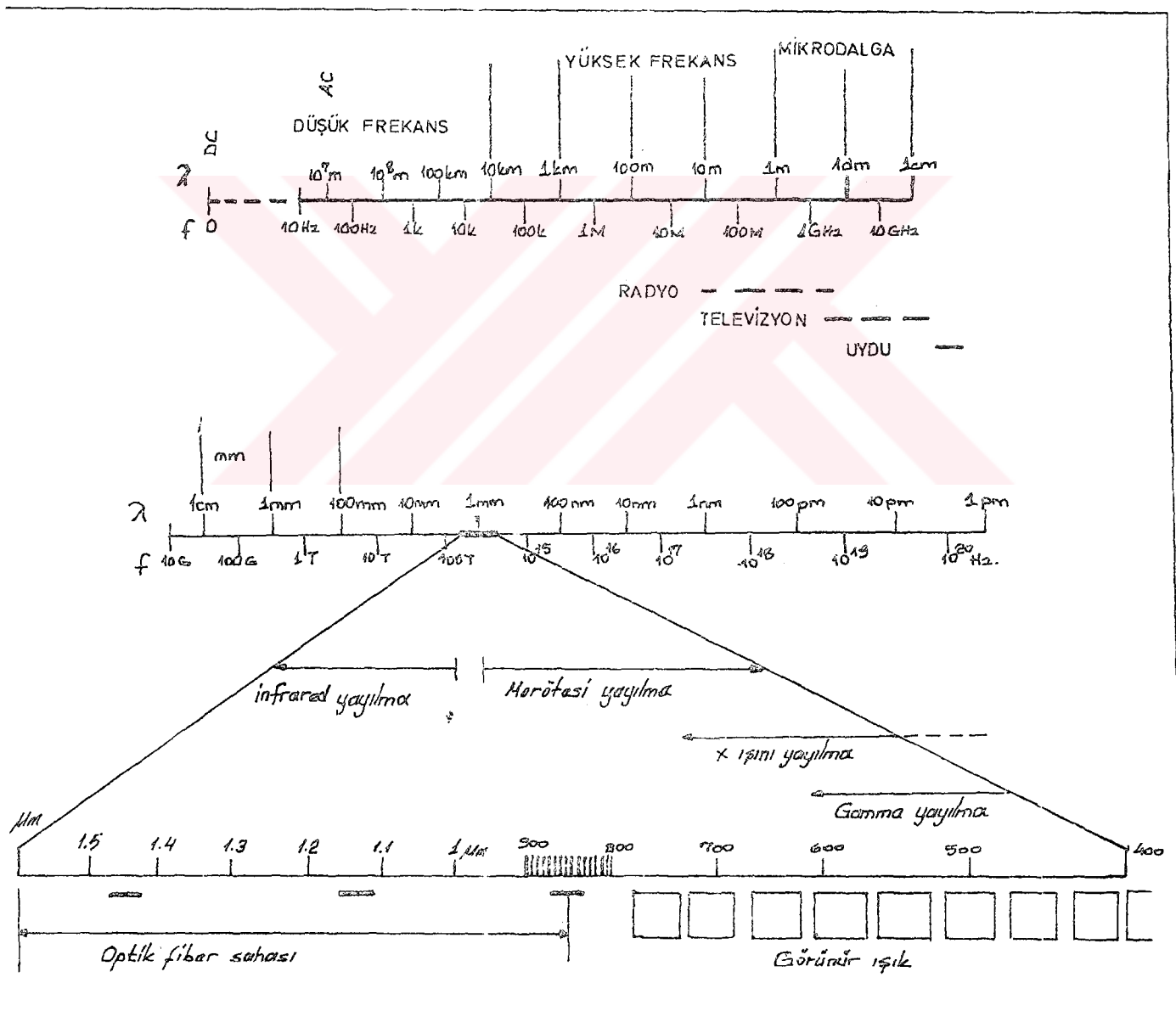
## 5.2 ELEKTROMANYETİK DALGA SPEKTRUMU

Elektromanyetik dalgaların (EMD) yüzüyıl öncesinden bilgi transferi için kullanılabileceği ispat edilmiştir. EMD'ların bilgi transferinde kullanılabilmesi, bir iletişim ortamına ve dalganın bu ortamda yayılması prensibine dayanmaktadır.

Böylece EMD'ler elektriksel iletkenliği olmayan yarı iletken yada akım içinde yüksek hızla yayılabilimtedirler.

EMD spektrumu ve dağılımı Şekil: 4.3 de görüldüğü gibidir.

Spektrumda da görüleceği üzere, optik kıravuzlarla ışık iletişim 800 ile 1600 nm yakın kızıl ötesi dalga boyu kullanılmış ve bu dalga boyları arasında 850, 1300 ve 1550 nm'lik optik iletişim için çalışma dalga boyları seçilmiştir. [7]



## 6. FİBER OPTİKLERİN PRATİK ALGILAMALAR İÇİN KULLANIMI

6.1 GIRIS

Interferometrik sıcaklık ve basınç algılamasında düşük maliyetli fiber optik uygulamaları.

Üretim ve malzeme maliyetindeki son düşüşler ucuz fiberoptiklerin daha kolay elde edilmesini sağlamış ve algılama alanında daha çok deney yapılabılmasına imkan vermiştir. Fosfor uçlu yada reaksiyon tipi fiberleri üretme eden eski teknikler dış yerlerin tabii fiberoptik avantajından yararlanırdı. Fakat bu tip algılayıcılar, ışık yayınımı veya kimyasal metodların olmadığı etkileşimlerde kullanılamıyordu. Daha zararsız metodların geliştirilmesi gerekiyordu. Devam eden araştırmalar ve fiyatlarının hızla düşmesi fiber algılayıcı mühendisliğinin yeri seviyelerine öncülük etti; pratikte düşük fiyatlı düşük dereceli fiber kullanımı çok başarılı bir şekilde ispatlandı.

## 6.2 TEMEL FİBER UZEMİ

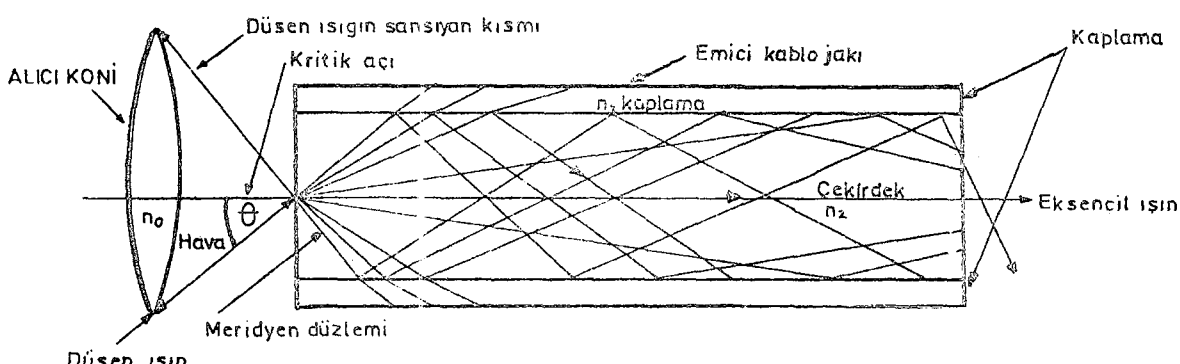
Fiber optik algılama kullanılarak asıl eleman sadece optik fiber, özellikle çoklu mod fiberlerdir. Tek modlu fiber, algılayıcı sistemlerin bir çoğunda çok modlu fiberlerin yerini aldığından, büyük hassasiyet hataları ortaya çıkmaktadır. Kolay olması açısından bu yazı çok modlu fiberle sınırlı kalacaktır.

Fiber ile ölçümün temeli fiber boyunca ışık yayılımının toplam iç yansımasıdır. (TIR: Total Internal Reflection). Fiberin bir ucunda nümerik aralıktan (veya şekil: 5.1'de gösterilen konik girişten) giren ışın fiber boyunca kaplamaya çarparak toplam iç yansımalarla (TIR) gidecektir. Tipik çok modlu fiberin iç çapı 20-200 mm arasında ve kaplama çapı 125-400 mm seviyelerindedir. Kaplama, sırasıyla bir dış kol tertibatıyla yada koruyucu malzemeyle yapılır. Eğer kaplama mat ise, fiber boyunca gönderilen ışığın sadece dahili yansımaları, fiberin merkez eksenin boyunca, bir dış çekirdekle iç kaplama yüzeyinden diğer dış çekirdekle iç kaplama yüzeyine sıçrar. Her ne kadar bu tip fiberler (algılayıcı kullanımı için) tek modlu optik fiberden daha hassas olsada, harici mat kaplamalı ve parlaklığını koruyan çok modlu bir fiberden daha az hassastır.

Çok modlu bir fiberde parmak kaplama kullanımı bir elastik (Plastik, Algılamacı uygulamaları için tipik bir yansıtıcı kaplama malzemesidir.) ve cam (veya harhangi bir çekirdek malzeme olabilir) arasındaki bir optik yüzeyin oluşturulmasıyla hassasiyet artar.

Fiber optik algılama, fiber içerisindeki zayıflamayı en iyi hale getiren bir özellikte çalışır (Yalnızca az kaliteli malzeme değil yansıtma işlemi sonucundan). Bu, zayıflama daha az (Tipik olarak 0,1 dB/Km) olduğunda haberleşme alanındaki eskimiş standart kanunlarla tamamen uyusmaz.

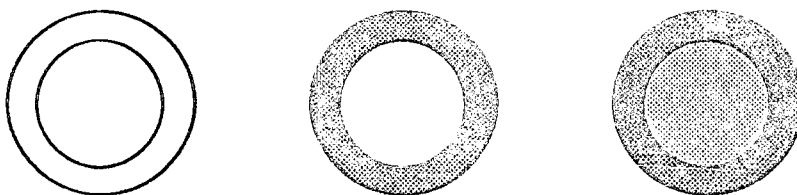
Bazı fiber üreticiler, algılama sistemlerinde kullanmak için yüksek kayıplı ve yüksek çift-kırılmış fiberleri tercih etmektedirler. Algılama sistemleri, ısı, basınç, gerilme, ivme akustik dalgalar, sıvı derinliği ve hacmi, elektrik alanı, manyetik alan, sapma algılamalarında kullanılmaktadır. (Son durumdaki, fiberoptik ring jiroskoplar yıllardır kullanılmaktadır). Fiber optik algılayıcıların alıştırılmış ölçüme metodlarına göre avantajları, yüksek data hızları için potansiyeli ve tehlikeli bölgelerde elektriksel bağımsızlığı olan elektromagnetik ve radyo frekansı girişimleri için fiberin dayanıklılığını sağlamasıdır.



Sekil: 5.1: Büyuk çekirdekli katı kaolamalı fiberde boyuna kesit.

### 6.3 ISI ALGILAMA

Bir fiber optik algılayıcı ile ısı ölçümü çekirdek/kaplama arayüzeyindeki ısızal genleşme katsayısının değişmesiyle yapılır. (Şekil: 5.2) kablo ısısının artması yada azalmasıyla, çekirdek/kaplama arayüzeyindeki ısızal denge değiştirilir; çünkü çekirdek ve kaplama farklılıhızları genleşir (yada büzülür).



Şekil: 5.2 -ısının artmasıyla, nokta girişim deseninin grafikle açıklanmasıyla solda, çevre ısı dengesi hiç bir desen oluşturmaz ortada, ısı artmaya başlamıştır; noktalar daha çok çekirdek kaplama bölgesinde yoğunlaşmıştır. En sağda, sıcaklık daha da artmıştır; nokta deseni çekirdeğe doğru hareket eder.

Örneklerde, fiber optik interferometrenin bir kolu durumundayken, bu etki, tıpkı bir spiral etkisi gibi, isterferometrik matrisin karşılaşılmasındaki uygun bir eğim gibi ortaya çıkar. İsi artıyorsa spirallenme çekirdeğe doğrudur; Eğer ısısı düşüyorsa spirallenme etkisi çekirdek Merkezinden dışarıya doğrudur.

Fiberoptikle algılanan ısı, bir çift dönüşümlü işlemidir. İşlemenin ilk adımı, ölçüden ısının, fiber çekirdek ve kaplamasında bağıl lineer yada eksenel değişim dönüştürülmeleridir. Bu boyuta ait değişim sonra saçak/girişim oluşumuına dönüştürülür. Çekirdek ve kaplama için boyutsal değişiklikle saçak değişimleri arasındaki toplam etkileşim iki basamaklı bir hesaplama işlemiyle tanımlanabilir. İlk adımda, çekirdek ve kaplama için ayrı saçak değişimleri hesaplanır; Aşağıdaki formül kullanılır.

$$F_c = [(n-1)\alpha L \Delta T] / \lambda \quad (1)$$

çekirdek veya kaplama

Burada,  $n$  kaplama yada çekirdek malzemesinin kırılma indisi (birimsiz),  $\alpha$  0-100 °C ısı seviyesinde kaplama yada çekirdek malzemesinin ısızal genleşme katsayısidır.

[1/ °C birimli],  $L$  ölçme parçası uzunluğu (cm),  $\lambda$  kaynak dalga boyudur (nm)  $\Delta T$  ise sıcaklık değişimidir (°C).

Ikinci adım aşağıdaki formül kullanılarak sistemin ortalama saçak değişimlerinin hesabını yapar.

$$F_{c\text{ sistem}} = [(\bar{n}_{\text{ortalama}})^{-1} (\Delta L_{\text{ort.}})] / \lambda \quad (2)$$

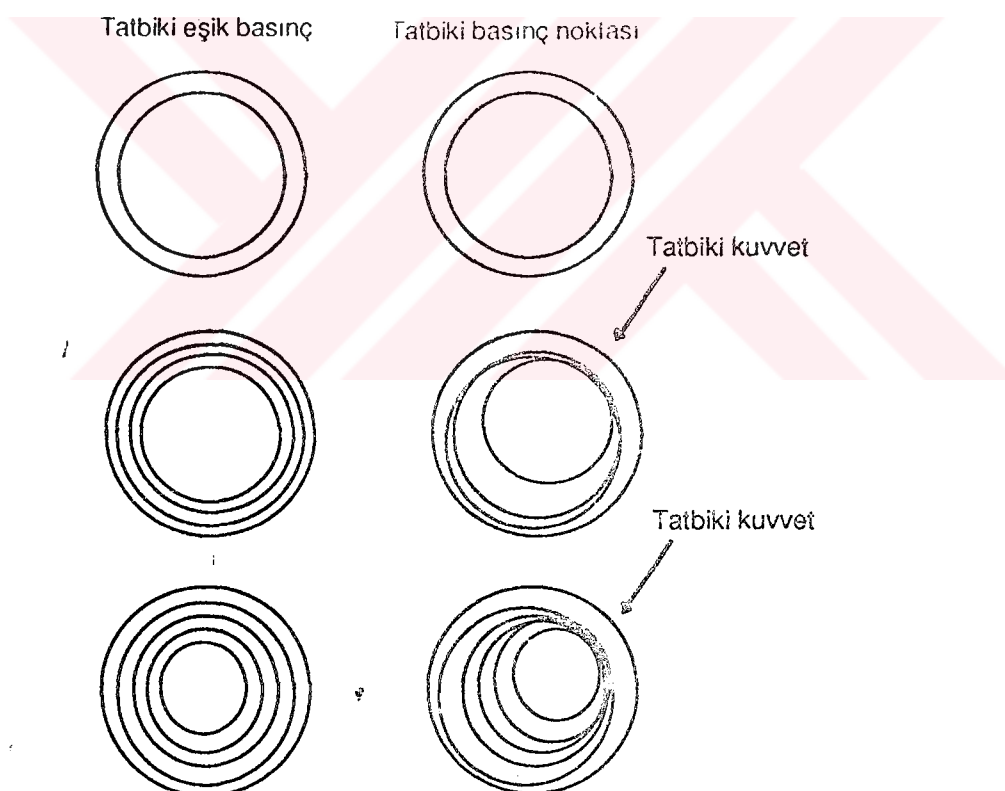
Burada  $n_{\text{ort.}}$  çekirdek ve kaplama malzemelerinin ortalama kırılma indisidir (birimsiz),  $\Delta L_{\text{ort.}}$  çekirdek ve kaplama malzemesinin lineer boyutundaki ortalama değişimdir. (cm) ve  $\lambda$  kaynak dalga boyudur (nm). Birinci denklem eritilerek birleştirilmiş kuartz cam çekirdek maddesi için yaklaşık 3 saçak değişimini ve teflon TFE kaplama maddesi için ≈360 saçak değişimini verir (ısıdaki 100 °C değişimler için) denklem 2'nin çözümü ile her iki yapı için denklem 1'in

çözümünün ortalamasının sonucunda ispatlandığı gibi  $\approx 189$  saçak değişimi oluşur.

Basit indirgemelerle, bu sistemin ısızdaki her bir  $0,5\text{ }^{\circ}\text{C}$  değişimle  $\approx 1$  saçak değişimi oluşturduğu söylenebilir. Her  $0,1\text{ }^{\circ}\text{C}$  değişimde bir saçak değişim hassasiyeti sisteri kurulmasına, şartlara, montaj ve diğer bazı faktörlere bağlı olarak elde edilebilir. Sistemin doğruluğu doğrudan  $\alpha$  nin belirlenmesiyle ilişkiliidir. Sistemin tekrarlanabilirliği kullanılan çekirdek ve kaplama maddelerinin elastikiyetlerine bağlıdır. [10]

#### 6.4. BASINÇ ALGILAMASI

Optik fiber kullanarak basınç algılaması, optik fiberin hacimsel esneklik katsayısına yada uygulanan sıkıştırılabilme durumuna bağlıdır. (Şekil: 5.3) kablodaki basıncın artması yada azalmasıyla, çekirdek ve kaplama arasındaki fark çekirdek kaplama ara yüzeyinin bozulmasına sebep olur. Bu, kabuk etkisi olarak bilinen, girişim matrisindeki orantılı bir karışımımla ortaya çıkar. Basınç arttığında kabuk etkisi çekirdeğin merkezine doğru kayar; basınç düşüğünde ise çekirdeğin merkezinden dışarı doğru hareket eder.



Şekil: 5.3 -Basınç değişimiyle, kabuk etkisi deseninin grafikle açıklanması üstte, dış çevre basınç dengesi hiçbir desen oluşturmaz. Ortada (Solda), kabukta, kabule etkisi oluşturan dış çevre basıncı artar. Orta (Sağda) uygulanan noktasal kuvvetle artan basınç, kaplamada merkezleri aynı nokta olmayan halkalar oluşturur. En altta (Solda), basıncın artması çekirdek merkezinde dikkata değer kabuk etkisi oluşturur. En altta (Sağda) uygulanan noktasal kuvvetin artmasıyla çekirdekteki merkezleri aynı olmayan kabuk etkisi gözlenmiştir.

Optik fiberle basınç ölçümü, üç dönüsümlü bir işlem gerektirir. İlk adım, ölçülen basıncın bağılı hacime ait değişimde dönüştürülmüşdür. İkinci hacime ait bilginin lineer yada ekseriel

değişime çevrilmesidir. Üçüncüsü ise; bu boyutsal değişimini uygun saçak/girişim oluşuna dönüştürmektedir.

Çekirdek ve kaplamanın her ikisi için saçak değişimleri ve boyuta ait değişim arasındaki tüm etkileşim, aşağıdaki şekilde tanımlanır. Önce, denklem 3 kullanılarak, çekirdek için saçak değişimleri hesaplanır.

$$F_{c\_çekirdek} = [(n-1) (\Delta PV) / B \pi r^2] / \lambda \quad (3)$$

Buradan  $n$  çekirdek maddesinin kırılma indisisi;  $\Delta P$  basıncındaki değişim ( $\text{kg/cm}^2$ );  $V$  algılanan parçadaki çekirdek maddesinin hacmi ( $\text{cm}^3$ );  $B$  çekirdek maddesinin hacim modülüdür ( $\text{Kg/Cm}^2$ );  $r$  çekirdek maddesinin yarıçapı (cm);  $\lambda$  ise kaynak dalga boyudur (nm).

Sonra denklem 4 kullanılarak kaplama için ayrı ayrı saçak değişimleri hesaplanır.

$$F_{c\_kaplama} = [(n-1) ((\Delta PV) / B \pi (R^2 - r^2))] / \lambda \quad (4)$$

Burada  $n$  kırılma indisisi;  $R$  kaplama maddesinin dış yarıçapıdır. (Cm). Daha sonra, denklem 5 kullanılarak, ortalamama sistem saçak değişimleri hesaplanır:

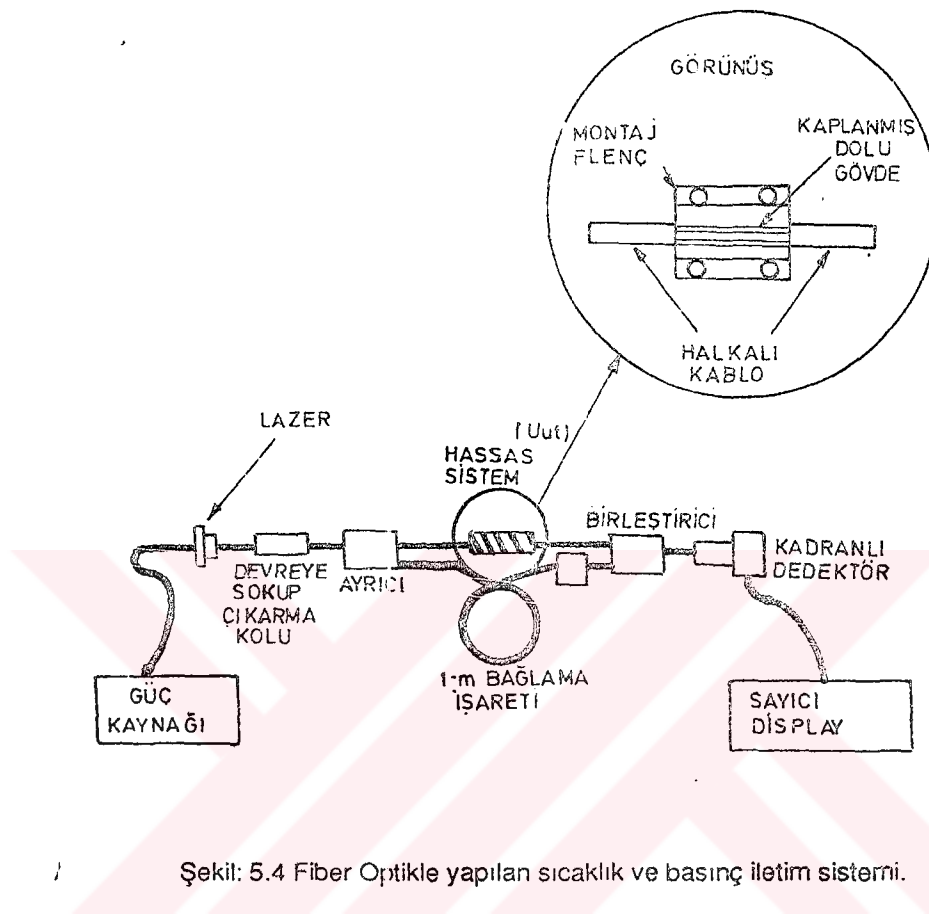
$$F_{c\_sistem} = (n_{\text{Ort.}} - 1) (\Delta L_{\text{Ort.}}) / \lambda \quad (5)$$

Burada  $n_{\text{Ort.}}$  çekirdek ve kaplamanın ortalamama kırılma indisidir;  $\Delta L_{\text{Ort.}}$  çekirdek ve kaplama maddelerinin lineer boyutundaki ortalamama değişimidir.  $\lambda$  ise kaynak dalga boyudur. (nm)

Denklem 3, ısıtılarak birleştirilmiş quartz-cam çekirdek maddesi için  $\approx 146$  saçak değişimini verir ve denklem 4 bir teflon TFE kaplama maddesi için  $\approx 1635$  saçak değişimini verir (Tüm maddeler basınçın  $1000 \text{ kg/cm}^2$  lik değişim altındadır). Denklem 5'inin çözümü ile denklem 3 ve 4 ün üç ayrı ortalamasının sonucu ile isbatlanan,  $\approx 2616$  saçak değişimini verir. Basit bir indirgeme gösterir ki, bu sistem her  $0,38 \text{ Kg/Cm}^2$  için  $\approx 1$  saçak değişimini sağlar. Kurnaya, şartlara, montaja ve ilgili diğer faktörlere bağlı olarak herbir  $0,10 \text{ Kg/Cm}^2$  aralısta bir saçak değişimini hassasiyetide elde edilebilir. Sistemin doğruluğu, direk olarak  $B$  nin değişimine bağlıdır. Sistemin tekrarlanabilirliği kullanılan çekirdek ve kaplama maddelerinin elastikiyetlerine doğrudan bağlıdır. [11]

## 6.5. SİSTEM TEORİSİ

Çok modlu fiber örgü üzerinden ayırcıyla (splitter) bağlanan laser diyotla başlayalım. (Şekil: 5.4). Tek hatta bağlı olan ayırcıdan çıkan ışık bir metrelik fiberde bir sarım içinden geçer. Bu sarım algılayıcı ve önceki sarım tekrarı arasında girişimi veya uygunsuzluğu tespiti edecek şekilde içeren ayarlanabilen hava boşluklu etalon ile sarılmıştır. Etalon, kalibrasyon için gerekli biyaslamayı ortadan kaldırır.



Şekil: 5.4 Fiber Optikle yapılan sıcaklık ve basınç iletim sistemi.

Diğer hat, ayırcıdan çıktıktan sonra algılayıcıya (Uut) bağlanır. Algılayıcı, ısı yada basınç (yada her ikisi birden) için algılanacak hedef alan ile doğrudan bağlantılı olarak yerleştirilmiştir.

Algılayıcı yada tekrarlama kollarının veya hatalarının hepsi (ayarlanabilir hava boşluklu bir atalonla) bir karıştırıcı da tekrar bir araya getirilir; tek bileşkeli fiber çıkışı dörtleyici dalga boyları eşit foto-dedektöre gönderilir. Dış uyaridakı tepkinin diferansiyel değişimi ile bir nokta interferogram şeklindeki sonuç girişim deseni (ler) bir dörtleyici dedektöre gönderilir. Eğer burada bir ısuya neden olan kayma varsa dedektör dörtleyicileri sıfır noktasından veya merkezden dışarı doğru aktif duruma geçer. Eğer basınçta neden olan kayma varsa sadece dedektörün sıfır noktasında yada merkezinde yoğunlaşacak olsan dedektör yüzeyindeki değişim aktifleşir.

Deteksiyonu çözümleyecek olan elektronik sistemler bisaylama, tarama ve faz uygunlaştırıcı devreleri ihtiyaç eder (son düzeltme için genleşme/yoğunlaşma etkisi, soğuma/ısınma, basınç artaması/basınç azalması ile aynıdır).

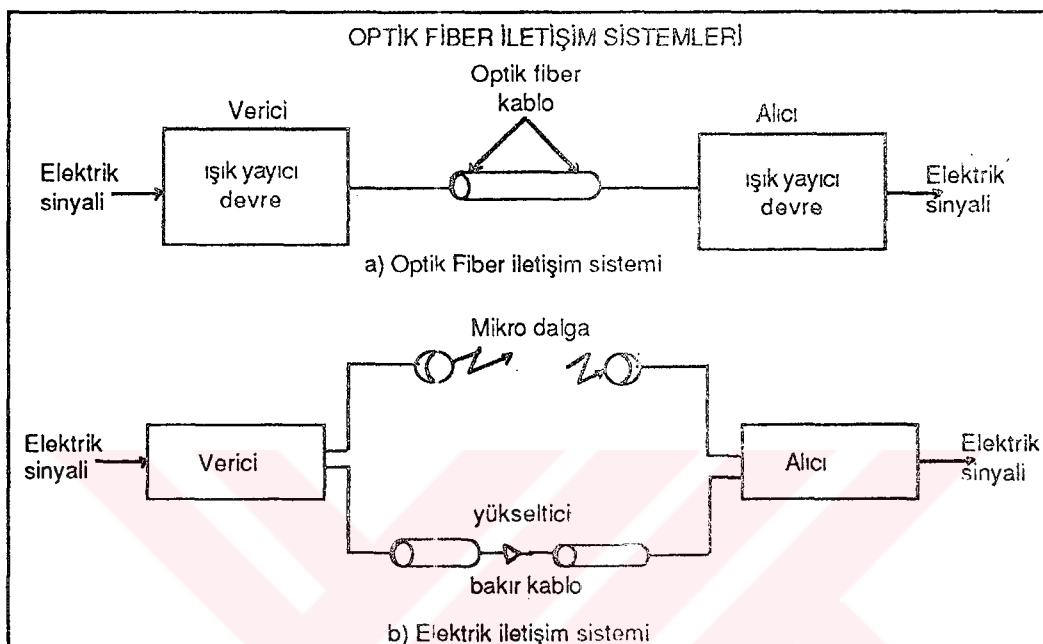
Sistem uygulamaları, boşluk, radyo aktif, tehikeli kimyasal ve düşman bölgelerinde olabilir. Çekirdek ve kaplama birimleri dışında başka "birleşici" parça yokken bakım en düşük seviyededir.

## 6.6. İLETİŞİM SİSTEMİ

Günümüzdede iletişimi Şekil: 5.5 de görüldüğü gibi üç değişik sistemde yapılmaktadır.

Özellikle uzak mesafe haberleşmesi elektriksel olarak iki şekilde yapılabilmektedir. Elektrik sinyali vericide kuvvetlendirilerek ve elektromanyetik dalga ileşimi ile bakır kablo veya hava iletim ortamı kullanılarak alıcıya ulaştırılmaktadır.

Optik iletişim ise, elektrisel sinyal ışık yayıcı diyonlar veya lazer diyonlar ile ışık sinyaline dönüştürülür ve optik fiber kablo üzerinden alıcıya aktarılır. Alıcıda bilgi içerikli ışık sinyali hassas foto dedektörler kullanılarak elektrik sinyaline çevrilir. Böylece bilgi transferi gerçekleştirilmiş olur.



Şekil: 5.5 Optik Fiber İletişim Sistemleri.

## 7. ELEKTRİK ALAN BİLEŞENLERİNİN FİBER-OPTİK ALGILAMASI

### 7.1. GİRİŞ:

Elektrik alanlarının optik algılaması için, çeşitli sensör tipleri vardır. Bunların birçoğu, elektrooptik etkilerle üretilen optik faz değişimleriyle çalışırlar. Büyük kristaller ve kristal dalga klavuzlarını içeren algılama elemanları, camlar veya sıvılar gibi izotropik ortamlardır. (Kerr etkisi)

Fiber optik modülatörlerin gelişmesiyle, yeni bir başlangıç meydana gelmiştir. Burada, elektrik alan, bir optik fiberden iletilir ve piezo-elektrik malzememin zorlanmasıyla oluşur. (ters piezo elektrik etkisi). Fiber uzunluğunun değişimi, uygulanan alanla orantılı olarak, optik faz kaymasına sebep olur. Elde edilen faz kayması, genellikle elektrik alan yönünün, karmaşık bir fonksiyonudur. Elektrik alanının yönü, farklı uzay doğrultularındaki alan bileşenlerine, sensör farklı tepki verdiğiinde, sensörün yönüyle orantılıdır. Alan geometrisinin veya sensör yönünün her değişiminde, yeniden ayarlanması gereken voltajlar, yerel alan ölçümleri ile anlaşılır.

Bu konuda sadece, sabit sensör ekseni paralel olan, alan bileşenlerine duyarlı, fiber optik alan sensör kavramı incelenmiştir. Diğer uzay doğrultularındaki, alan bileşenleri etkili değildirler. Sensörün fiziksel prensibi, ters piezo elektrik etkisinin simetri özelliğine bağlıdır.

Bu çalışma yön algılamalı alan dedeksiyonunun esas olduğu durum için elektrik alanının hat integrasyonıyla, voltaj algılama fikrinden yola çıkılarak yapılmıştır. Ayarlanması geometrik parametrelerden bağımsız olduğunda, voltaj sensörünün algılama kabiliyeti, alan integrasyonunun yeterince büyük olmasına bağlıdır. Bir yön seçici alan sensörü, elektrooptik yöntemlere alternatif olarak, elektrik alan dağılımının gösterimiyle de ilgilidir.

7.2. Bölümde sensörün fiziksel özellikleri, detaylı bir şekilde tanımlanmıştır. Yön duyarlıklı alan dedeksiyonuna, uyumlarından dolayı yirmi piezo elektrik kristal camının, sistematik buluşunun sonuçlarını özetleyeceğiz. 7.3. bölümde sensör planına uygun, bazı malzeme özelliklerini izah edeceğiz. Deneysel sonuçlar ve izahları bölüm 7.4.'te ve son olarakda özet bilgileri verilecektir.

### 7.2. FİZİKSEL PRENSİP:

Özel elektrik alanlarının, fiber optikle algılanması için geliştirilen teknik, ters piezo elektrik etkisinin, simetri özelliğine göre çalışır. Özel alan bileşimi ile üretilen piezo elektrik gerilimler için, piezo elektrik kristalografik nokta grupları bulunmuştur. Diğer iki uzay yönleri katkıda bulunmazlar. Boydaki uzaması uygun alan, bileşenile doğru orantılı olan ve interferometrik olarak ölçülen uygun bir gerilim optik fibere aktarımı yoluyla kaydedilir.

Gerçek sensör dizaynı ve piezo elektrik malzemenin seçimi ile ilgili değişik çözümler mevcuttur. Aşağıdaki bölgelerde izahımızı Şekil: 7.1'de gösterilen 3 temel şekilde sınırlandıracağız. İlk dizaynda (Şekil: 7.1 a) disk (yuvarlak) yüzeyli piezo elektrik malzeme gereklidir. Kristalografik nokta grubu ve kristalografik eksenlerin doğrultuları, sadece diske dik doğrultudaki alan bileşeni seçilecek şekilde ve uygun piezo elektrik gerilme disk çevresinde değişim yapacak şekilde seçilir. Farklı olarak, daire çevresi, alan bileşenleri ile normale dik olarak birleşmiş gerilmelerden etkilenmez. Daire çevresinin değişimi, diskin birkaç dönüşle sınırlayan, fiber uzunluğunu değiştirir. Kristalografik eksenlerin yönlerine benzeyen Tablo 7-1'de verilmiştir. Daha ileri çizimler için,  $D_3$  camını (quarz) daha detaylı inceleyeceğiz.  $D_3$  için piezo elektrik gerilme katsayıları matrisi

$$\begin{matrix} d_{11} & -d_{11} & 0 & d_{14} & 0 & 0 \\ 0 & 0 & 0 & 0 & -d_{14} & -2d_{11} \\ 0 & 0 & 0 & 0 & 0 & 0 \end{matrix}$$

Kristalografik x doğrultusu boyunca uygulanan bir elektrik alanı, x civarındaki boylamasına eksene olan kırılmada olduğu gibi, sırasıyla x ve y doğrultuları boyunca, boyuna ve enime piezo elektrik gerilme meydana getirir. y boyunca uygulanan elektrik alanı y ve z civarında kırımlar (shears) meydana getirir. z boyunca uygulanan alanlar gerilmeler meydana getirmez.

Disk normaline paralel alan bileşenlerinin özel dedeksiyonu için, kristalografik x eksenleri normale paralel seçilmelidir.

x boyunca alan bileşenlerine uygunlaştırılan çapraz gerilme yalnızca daire çevresindeki bir değişmeye uygun miktarda (dij nin 1. dereceden terimlerinde) katkıda bulunur. x boyunca oluşan alanlar tarafından üretilen, boyuna kırılma yalnızca, piezo elektrik gerilme katsayısına denk gelen yüksek dereceli terimlere katkıda bulunur.

Bu durum geometrik olarak gösterilmektedir. Bundan dolayı, gerilme katsayıları  $10^{-12}$  C/N derecesindedir. Bütün pratik alanlarda yüksek dereceli terimler ihmali edilebilir. y boyunca oluşan alanlarla birleştirilen kırımlardan fayda sağlanmaz. Daire çevresinin bağılı değişimi

$\Delta L/L = -\left(\frac{1}{2}\right) d_{11} E_x^{(in)}$  ile verilir. Burada  $E_x^{(in)}$  piezoelektrik malzeme içerisindeki x boyunca oluşan alandır.  $(1/2)$  faktörü, gerilme katkısının radyal (açışal) olmasından, fakat faktörü, gerilme katkısının radyal (açışal) olmamasından, fakat yalnız y boyutu boyunca meydana gelmesinden kaynaklanmaktadır. Tablo 1'de listelenen diğer kristalografik nokta grubları için kısmi bir alan bileşen duyarlılığı benzer şekilde kolaylıkla gösterilir. [12]

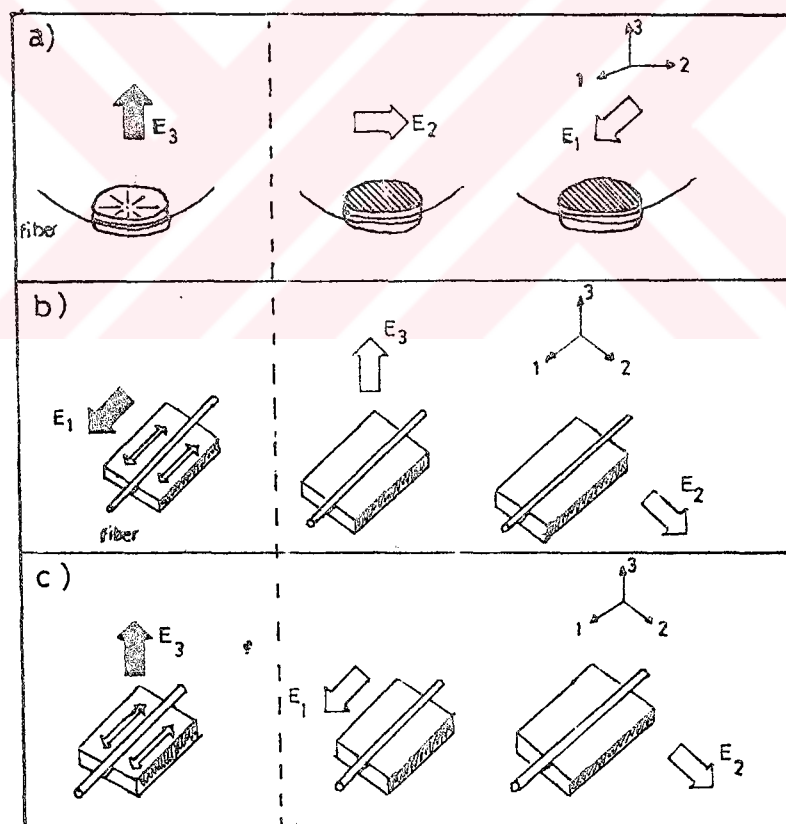
Diğer iki sensör dizaynı Şekil:7.1 (b) ve (c) de gösterilmektedir. Burada, algılama elemanları yüzeyindeki yarık içine doğrusal olarak yerleştirilen fiberli tabakadır. Elektrik alan bileşenlerinin, fibere paralel yada tabaka düzlemine dik seçilmesiyle kristalografik nokta grupları ve yönlenmesi duyarlı hale gelmeye başlar. Birçok durumda, ilgili piezo elektrik gerilme fiber yönünde ortaya çıkar ve seçilen alan bileşeniyle orantılı olarak fiber uzunluğunu değiştirir.

Uygun kristalografik nokta grupları ve yönlenmeleri Tablo: 7.2 ve 7.3'de listelenmiştir.  
Tablo: 7.1 Disk şeklindeki sensör elemanları için kristalografik nokta grupları

Nokta Grubu	Disk normaline paralel Kristal eksen
$C_2$	İki sipirli eksen
$C_{2v}$	İki sipirli eksen
$C_3$	Üç sipirli eksen
$C_{3v}$	Üç sipirli eksen
$D_3$	* İki sipirli eksen
$D_{3/h}$	İki sipirli eksen
$C_4$	Dört sipirli eksen
$C_6$	Altı sipirli eksen
$C_\infty$	$\infty$ sipirli eksen
$C_{4v}$	Dört sipirli eksen
$C_{6v}$	Altı sipirli eksen
$C_{\infty v}$	$\infty$ sipirli eksen

Örnek olarak tekrar  $D_3$  sınıfını gözönüne alalım, eğer, fibere paralel alan bileşeni  $D_3$  simetri malzemesiyle ölçülürse (Şekil: 7.1 b) boyuna sıkıştırılmış eksenler (fiber yönü) kristalografik x yönüne paralel şekilde yönlendirilmiş olmalıdır. Diğer eksenleri yönlenmesi keyfidir. Diğer bir deyişle, eğer bir kristalografik x eksenin plaka düzlemine dik olacak şekilde yönlendirilirse (yani y eksenine paralelse), ve fiber yerleştirilirse, sensör yalnız plakaya dik olan bileşenlerine duyarlı olacaktır. (Şekil: 7.1 b) veya çapraz gerilmeler (Şekil: 7.1 c) x eksenin boyunca oluşan alanla birleştirilir. Her iki durumda da bağılı fiber uzamasının mutlak değeri  $\Delta L/L = |d_{11} E_x^{(in)}|$  ifadesine eşittir. Kırılma gerilmelerinin katkısı olmaz. İtade edilmelidir ki, eğer Şekil: 7.1 c deki dizaynda fiber y den (ve z) başka yönlerde sıraya konulursa, sensör yalnızca x eksenin boyundaki alanlara duyarlı kalacaktır. Fakat, sadece çapraz gerilmeler değil, bu alan bileşeniyle birleşmiş boyuna kırılmada fiber uzunluğundaki değişime etki edecektir.  $d_{14}$ 'd<sub>11</sub> oranına bağlı olan, maksimum değere ulaşan bütün gerilmelerin veya dikkate alınmayan diğerlerinin toplam etkisinin bulunduğu durumda yönler oluşur. z yönü boyunca (3'lü eksen) gerilme ortaya çıkmaz.

Açıkça görülür ki, Şekil: 7.1 b'deki plakaların yerine silindir şeklindeki piezo elektrik malzemeler kullanılabilirse, silindirli eksenin kristalografik yönlenmesi boyuna plaka ekseninin yönlenmesine eşdeğerdir. Uygun bir piezoelektrikle çaplı fiber buna bir örnek olacaktır.



Şekil: 7.1 Farklı elektrik alan bileşenlerinin duyarlılığı. Siyah kalın oklarla gösterilen alan bileşenleri bir sensör cevabı (Tepki) üretir, içi boş oklara paralel olan alan bileşenleri için bir sensör cevabı olusmaz.

Tablo: 7.2 Eğer fibere paralel alan bileşenleri ölçülürse plaka tipi sensörelementleri için kristalografik nokta grupları ve yöntemleri

Kristalografik Nokta grubu	Fibere paralel kristal Eksen
$C_2$	İki sıpirli eksen
$C_{2v}$	İki sıpirli eksen
$C_3$	Üç sıpirli eksen
$C_{3v}$	Üç sıpirli eksen
$D_3$	İki sıpirli eksen
$D_{3h}$	İki sıpirli eksen
$C_4$	Dört sıpirli eksen
$C_6$	Altı sıpirli eksen
$C_\infty$	$\infty$ sıpirli eksen
$C_{4v}$	Dört sıpirli eksen
$C_{6v}$	Altı sıpirli eksen
$C^{\infty v}$	$\infty$ sıpirli eksen
T	Üç sıpirli eksen
$T_d$	Üç sıpirli eksen

Not: Diğer kristal eksenlerinin yönlenmesi keyfidir. [13]

Tablo: 7.3 Plaka tipi sensör elemanları için kristalografik nokta grupları ve yönlendirmeler plaka düzlemine dikey alan bileşenleri ölçüldüğü durum için.

Kristalografik nokta grubu	Düzlem normalinin yönü	Fiber yönü (Masmimum gerilme)
C2	İki sıpirli eksen	Maksimum gerilme fonksiyonunun
C <sub>2v</sub>	İki sıpirli eksen	fizyoelektriğe katsayı orantısı
S <sub>4</sub>	Dört sıpirli eksen	
C <sub>4</sub>	Dört sıpirli eksen	Keyfi
C <sub>6</sub>	Altı sıpirli eksen	Keyfi
C <sub>∞</sub>	∞- sıpirli eksen	Keyfi
C <sub>4v</sub>	Dört sıpirli eksen	Keyfi
C <sub>6v</sub>	Altı sıpirli eksen	Keyfi
C <sub>∞v</sub>	∞- sıpirli eksen	Keyfi
D <sub>3</sub>	İki sıpirli eksen	Not:    Üç sıpirli eksen
D <sub>3h</sub>	İki sıpirli eksen	⊥ Üç sıpirli eksen
D <sub>2</sub>	İki sıpirli eksen	45° W.r.t iki sıpirli eksen
D <sub>2d</sub>	İki sıpirli eksen	45° W.r.t. iki sıpirli eksen
T	İki sıpirli eksen	45° W.r.t. iki sıpirli eksen
T <sub>4</sub>	Dört sıpirli eksen	45° W.r.t. Dört sıpirli eksen
D <sub>4</sub>	⊥ Dört sıpirli eksen	45° W.r.t. Dört sıpirli eksen
D <sub>6</sub>	⊥ Altı sıpirli eksen	45° W.r.t. Altı sıpirli eksen
D <sub>∞</sub>	⊥ ∞- sıpirli eksen	45° W.r.t. ∞- sıpirli eksen

$$a = \text{Maksimum gerilme yönü } d_{14}/d_{11} \text{ oranına bağlıdır. [13]}$$

### 7.3. ALGILAMA MADDELERİ

$\alpha$  quartz (sınıf D<sub>3</sub>), Lithium niobate (C<sub>3v</sub>), barum titanate (C<sub>4v</sub>) ve piezo elektrik seramikler (PZT,C<sub>6v</sub>) ihtiyaca eden daha önce bahsedilen simetrik (ahenkli) ihtiyaçları karşılayan ticari olarak bulunabilen piezo elektrik maddeleri, polyvinylidene fluoride (PVDF) gibi piezo elektrik polymerler ve ilgili bileşikler (C<sub>2v</sub>) kadar iyidirler. Yüksek algılama için, dahili alanı maksimum yapmak için büyük piezoelektrik gerilme katsayılarına dikkat, ve düşük bağılı geçirgenlik katsayıları 6 jj sahip olan maddeler tercih edilir. d/t oranı için tipik nümerik data yaklaşık olarak  $0.11 \times 10^{-12}$  C/N (PZT) den  $2 \times 10^{-12}$  C/N (PVDF) ye olan sahaya kapsar. Açıkça piezo elektrik seramiklerin yüksek dielektrik sabitleri, yüksek piezoelektrik gerilme katsayılarına rağmen bu maddeler grubunu daha az tercih edilir duruma getirir.  $d_{11}/\epsilon_{11} = 0.51 \times 10^{-12}$  C/N li quartz orta saha içerisinde yer almaktadır. Algılamanın azaltılmasına ilaveten, yüksek dielektrik sabitleri önemli alan bozulmalarında (distorsiyonlara) sebep olabilir.

Quartzlı bu bozulmalar nisbeten düşük dielektrik sabitlerinden dolayı en aza indirilebilir. Uygun piezoelektrik gerilme katsayısı  $d_{11}$ 'in ve dielektrik sabiti  $\epsilon_{11}$  (- $2 \times 10^{-4}$ / °C ve  $0.3 \times 10^{-4}$ / °C sırasıyla) nin nisbeten sıcaklığı az bağımlılığının yüksek bir elektrik özdirenci ( $7.5 \times 10^{17}$  Ωm kadar) olması quartz'ın daha ileri avantajlarından biridir.

Elektrik polarizasyonunun frekans bağımlılığına sebep olabilen şarj değişikliği (şarjin bir

yerden bir başka yere kayması) ihmali edilir. Quartz'ın kısmi bir avantajı onun üstün kararlılığıdır. Bunun tersine, piezoelektrik seramikler veya polymerler yozlanma (yıpranma) dan dolayı şiddetli problemlere sebep olabilir. [13,14,15]

#### 7.4. DENEYSEL SONUÇLAR VE TARTIŞMA

Deneysel olarak artırılmış quartz, PVDF, PZT ye sahibiz. Yukarıda geçen belirli sebepler için, bağımlı olanlar içinde quartz konusunda düşüneceğiz. Detaylı çalışmalar 3 mm disk kalınlığı (+) ve 10 mm disk çaplı (D) olan ve Şekil:7.1 a daki gibi disk biçimli sensörler (algılayıcılar) için yapıldı. Kristalografik x eksenleri disk yüzeylerine dikey olarak yönlendirilir. Fiber polarizasyonun sekiz dönüşü (turu) (york HB 600) diskin daire çevresine bağlandı. Fiber uzaması bir fiber mach-zehnder interferometresinde ölçüldü. Bir Helyum-neon laseri ışık kaynağı olarak kullanıldı. Interferometre enine çalıştırıldı öyle ki çıkış işaretini interferometre kolları arasındaki bağlı faz kaymalarıyla direk olarak orantılıdır. İşaret dalgalanmaları (polarizasyon kararsızlıklarından meydana gelen) uygun bir teknik kullanarak yüzde onun (10) birkaç katı olarak azaltıldı.

Bir spektrum analizedici işaret döteksiyonu için kullanıldı.

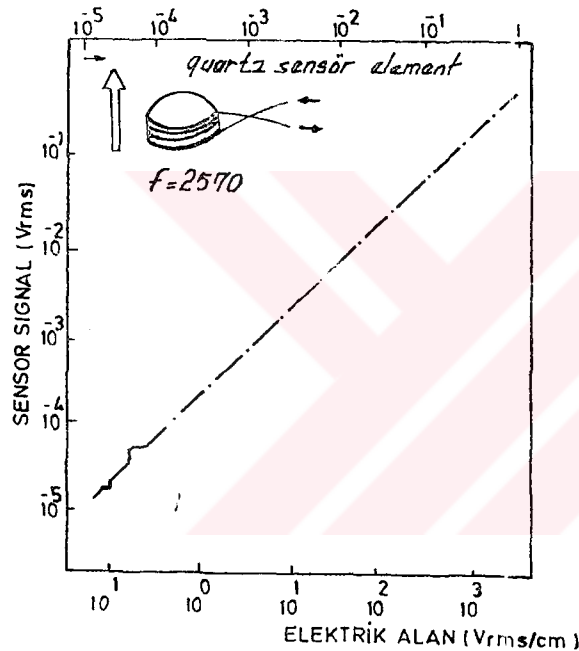
İlk olarak, sensörün dinamik sahası ve lineerliği gözden geçirildi. Sensör alan yönünde normal işaretli diskle paraleli kapasitör düzleminin (anot kapasitör) homojen elektrik alanı içine konuldu. Kapasitör düzlemleri disk yüzeyleriyle direk temas kurmaktadır. 2570 Hz frekanslı değişken bir ac voltajı V, kapasitör düzlemine uygulandı. Şekil: 7.2 sensör işaretini  $E=V/t$  elektrik alanının bir fonksiyonu olarak göstermektedir. İşaret genliği,  $10^{-1}$  Vrms/cm nin altından  $2 \times 10^3$  Vrms ye kadar olan elektrik alan şiddetine karşılık gelen büyüğünün yaklaşık 5 katı veya daha fazla alanın uygulanmasıyla lineer olarak artırılır. En üst limit, optik faz kaymalarını  $n/2$  den küçük olduğu durumda çalışması için dizayn edilmiş olan interferometre sistemiyle belirlenir. En alt limit akustik gürültü oranının 1 olması yaklaşık, elektrik alanının  $1,5 \times 10^{-2}$  Vrms /cm değerine karşılık gelir. Bu, bir  $4 \times 10^{-6}$  rad optiksel rms faz kaymasına veya  $4 \times 10^{-4}$  nm lik bir optiksel rms yol değişimine eşdeğerdir. 50 Hz lik bir frekansta alınabilecek en küçük işaret temel gürültünün en yüksek seviyesinden dolayı alınabilecek en yüksek işaretin yaklaşık 10 faktörü kadardır. (% on gibi) alternatif olabilecek fiber optik interferometre dizaynı araştırmaları düşük frekanslar için çevre bozucu etkilerin daha az olabileceği göstermektedir. Hala bu şartlar altında çalışmalar devam etmektedir. Dikkat edilirse basit olarak sensörün dizayn parametreleri değiştirilerek, örneğin fiber dönüşü 1 sargı sayısı veya sensör çapı gibi, çalışma sahası özel istekleri karşılamak için ayarlanabilir.

Deneysel araştırmaların ana amacı sensörlerin yön duyarlığını gerçekleştirmesini kapsamaktadır. Bu amaç için sensör işaretti, disk normali n ve bir homojen dalgalı alan ( $2,7V_{rms}/cm$ , 8 KHz) arasındaki  $\varnothing$  açısının bir fonksiyonu olarak ölçülmüştür. Bu ölçme elektrik alanının azimut açısının değişimleri için tekrar edilmiştir. Şekil: 7.3 nin sabit bir değeri için deneysel datayı gösterir.  $1 \cos \varnothing$  fonksiyonuyla mükemmel bir uyum bulunmuştur. (Dikkat edilirse deneysel data normalize edilmiştir. Öyleki, data noktası  $\varnothing=0^\circ$  de 1 e karşılık gelmektedir. Sensör cevabının cosinus bağımlılığı ve gerçekten işaretin dan bağımsız olması; sensörün, n'e paralel alan bileşeninin hariç tutulduğu dedeksyonu yapma kabiliyetini gösterir.

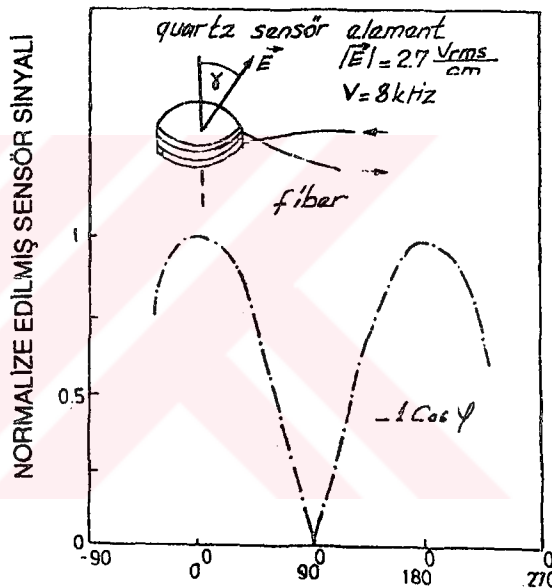
Bu noktada belirtilmelidir ki quartz disk içerisindeki elektrik alanının yönü genellikle uygulanan harici alanın yönünden farklıdır. Eğer harici alan ana geometrik ve kristalografik eksenlere paralelse bir tesadüf (kesişme) vardır. Yinede, açıkça görülür ki disk normali boyunca dahili alan bileşimi daima normal ile uygulanan harici alan arasındaki açısının cosinusu ile orantılıdır. Orantılılık faktörü bağlı geçirgenliğe bağlıdır. Benzer düşünceler Şekil: 7.1 b ve c deki yassılaştırılmış (levha gibi olmuş) tip sensörler uygulanır. Sönsör şeklinin ideal elipsoidden uzaklaşmasının sebep olduğu dahili alanın ortaya çıkabilen homojen olmayan türlerinin, simetri esasları için, sensör cevabının (tepkisinin)  $1 \cos \varnothing$  bağımlılığına etkisi olmamalıdır.

Diğer tarafta, eğer kristalografik ekseni geometrik sensör ekseniyle karşılaşmazsa (kesişmezse) sensörün duyarlık yönü ve sensör geometrisi arasında açık bir ilişki olmaz ve buna ilaveten sensör yalnızca tek bir alan bileşeni için duyarlı olamayıpabilir.

Diğer bir nokta sensör cevabının frekans bağımlılığıdır. Dedeksiyon sisteminin 50 KHz lik band genişliği içinde, mekanik olarak izole edilmiş sensör işaretinin frekans bağımsızlığı bulunmuştur. Quartz disk'in titreşim rezonanslarının birkaç yüz kilohertz'ın üzerindeki frekanslarda sensör cevabının etkilemesi beklenmektedir. Verilen temel rezonansın geometrik boyutları için radyal titreşimler 400 KHz olarak kabul edildi. Eğer uygun boyutlarda plateletip sensörler kullanılırsa megahertz sahisi içinde piezoelektrik rezonansları kaydırmak mümkün olmalıdır.



Şekil: 7.2



Şekil: 7.3

## SONUÇ

Optik lifler gerek haberleşme alanında ve gerekse endüstrinin çeşitli kısımlarında gün geçtikçe daha yaygın şekilde kullanılmaktadır. Bu kullanım esnasında optik fiberin içerisinde taşınan bilgilerin meydana gelecek fiziksel değişikliklerden nasıl etkilendikleri sonucunun diğer iletişim için kullanılan metal kablolara oranla üstünlikleri ve dezavantajları verilmiştir.

Daha sonraki bölmelerde optik fiberin sistemlere uyumu ve bunları sağlayan aktif elemanların yapısı ve pasif elemanların kullanımı, kullanım anında olan etkinlikleri belirtilemiştir. Elektromanyetik dalga spektrumunu inceleyerek optik fiberin çalışma frekansları belirtilerek çalışma bandı ortaya çıkmıştır.

Optik fiberin pratikte ısı algılamasındaki etkilerini, ısıya olan duyarlığını ve basınç algılamalarını inceleyerek iletişim sistemindeki etkin hassasiyeti gözlenmiştir.

Elektrik alan bileşenlerinin fiziksel prensiplerden belirli piezoelektrik kristal türlerinin simetri özelliklerinin kendi elektrik alan bileşenlerinin fiber optik algılama için kullanılabileceği gösterilmiştir. Dinamik saha veya duyarlılık (hassasiyet) gibi önemli performans karakteristikleri temel olarak elektro optik alan sensörleri için karşılaştırılabildiği bulunmuştur. Piezoelektrik sensör şeklin büyük bir avantajı gerçek sensör kafasının basitliğidir. Fiber optiklere transduser malzemesinin bağlantısı açktır. Tersine olarak, elektro optik kristallerinin fiber optiklere bağlantıları oldukça karmaşıktır. Benzer problemler dielektrik dalga kılavuzlarının fiber optiklere bağlanmasıyla ortaya çıkar.

Sensör şeklärinin mümkün olan uygulamaları, elektrik alanın çizgi bütünüyle veya elektrik alan dağılımlarının planlanmasıyla yapılan voltaj algılamayı içerir.

## IRDELEME

Işığın bilgi gönderme-alma yada kısaca bir haberleşme aracı olarak çok eskiden beri kullanıldığı bilinmektedir.

Daha sonra telgraf, telefon, radyo haberleşmesi ortaya çıktıça optik haberleşme unutulur gibi olmuş fakat 1960'lı yıllarda 1970'li yıllara doğru camın hammaddesi silisyumdan çekilen liflerin ışığın yayılması için bir iletim ortamı olabileceği laboratuar çalışmaları bazında da olsa ispatlanarak günümüz haberleşmesinde en önemli faktör durumuna gelmiştir. Tabii ki bu yenilikler beraberinde teknolojide de çok ileri mertebelere gidilmesini ve maliyeti düşürücü verimi artırıcı insanlık hizmetine en mamur olacak şekilde sokulmaya çalışılmıştır. Bunun örneğini ikinci bölümde optik fiber ile diğer kabloların teknik özelliklerinde içeriğiştir.

Optik fiberin diğer haberleşme sistemlerine adaptasyonu ışının bir analog veya sayısal freksanslara dönüşümleri ve ışığın hüzmesinin algılanması ve verici sistemlerin laser diyodlar yardımı ile elektrik enerjisinin ışık enerjisine dönüşümünü sağlayacak yan periferallerin üretilmesini zorunlu kılmıştır.

Günümüzde bu diyotların ve maliyetlerinin hiç de ekonomik rakamlar olmadığı izlenmektedir. Bunlarla birlikte işçilik hizmetlerinin aşırı hassasiyet ve ek işlemlerinin zorlukları izlenmiştir.

Bu çalışma esnasında haberleşmedeki fiber optik sistemlerin çalışmanın birkaç boyutunda tamamını kapsayacak içerikte optik algılama elemanlarını bunların çalışmasını, teknik özelliklerini, eski teknolojiye oranla üstünlüklerini, data akışını, geniş bant haberleşmesini, modülatör ve demodülatörlerle elektrik sinyallerinin optik sinyale çevrimi incelenmiştir. Vericilerde kullanılan diyotların dalga boylarına göre adlandırılması, yapısı ve özellikleri incelenerek tablo halinde düzenlenmiştir. Yine burada led diyodile laser diyodon mukayasesi yapılarak led diyodon emisyonunun laser emisyonuna oranla boşluklar birbirine daha uzaklık ve kullanım alanına göre sınıflandırılmaları incelenmiş olup, tablo 4.2'de karakteristikleri verilmiştir. Günümüzün kullanılmakta olan RCA C 30818 E silikon (APD) diyodon elektriksel karekteri çalışma ısısındaki değişiklikler bir tablo ve grafik halinde belirtilmiştir. Temel fiber iletiminde ısı ve basıncın etkileri matematiksel formüllerle çözümlenerek çalışma alanlarına göre tipleri (kesit ve uzunluk) belirlenmiştir. Elektrik alan bileşenleri incelenerek fiber optik algılama için geliştirilen ters piezoelektirk etkisi incelenmiştir. Kristal grafik nokta grupları ve yöntemleri tablo 7.2'de ve tablo 7.3'de verilmiştir.

## KAYNAKLAR

- 1- CULSHOW, B., "Optical Fiber Sensing and Signal Processing", Peter Peregrinus Ltd. , London, 1986, UK.
- 2- WOLSTEIN, S.D. "Using Fiber - Optics for Practical Sensig", Lasers and Optronics, Vol. 8, No: 77, July 1989.
- 3- Mahlke / 6055 İng. " Fisberoptik Cobles" Fundamendals Cable Enyinceriny systems Planniny, 1982, New York. (Siemens)
- 4- Fiber Optik hat sistemleri - Telotaş Argo
- 5- Valis, T., Turner, R.D. MENSURES, R.M., "Distributed Fiber - Optics Sensing Based an CounterpropagatingWaves", Applied Optics, Vol. 28, No,11 June 1989.
- 6- T. Sasano, "Laser CT andLaser PD for EHV Power Transmission Lines", Elecstr. Eng. in Jpn. (Engl. trasl. of Denki Gakkai Zasshi) 93.91 (1973)
- 7- G.A. Massey,D.C. Erickson, and R.A. Kadlec,"Electromagnetic Field Components: Their Measurement Usung Linear Electrooptic and Magnetooptic Effecis, "Appl. Opt. 14.2712 (1975).
- 8- J WILSON J.F.B. HAWKES "Opto Electronics An Introduction. Prentice hall , 1989, London
- 9- RS Components Data Book, 1989, London
- 10- M.C. Farries and A.J. Rogers, "TemperatureDependence of the Kerr Effect in a Silica Optkical Fiber, " Electron. Lett. 19.890 (1983)
- 11- M. Imai, H. Tanizawa, Y. Othsuka, Y. Takase, and A. Odajima, "Pieezzoelactic Co-polymerJacketed Single-Mode-Fibers for Electric-Field Sensor Applications, "J..Appl. Phys. 60.1916 (1986)
- 12- Y. Hamasaki, H. Gotoh, M. Katoh, and S. Takeuehi, "OPSEF:An Optical Sensor for Measurement of Hing Electric Field Intensity, "Electron. Lett. 16,406 (1980)
- 13- P.D. DeSoza and M.D. Mermelstein, "Electric Field Detection with a Piezoelectric l'polymer-Jacketed Single-Mode Optical Fiber, "Appl. Opt 21.4214 (1982)

- 14- L.J. Donalds, W.G. Ferench, W.C. Mitehell, R.M. Swinehart, and T. Wei, Electric Field Sensitive Optical Fiber Using Piezoelectric Polymer Coating "Electron. Lett. 18.327 (1982)
- 15- K.P. Kooand G.F.H. Sigel, "An Electric Field Sensor Utilizing a Piezoelectric Polyvinylidene Fluoride (PVF2) Film in a Single-Mode Fiber Interferometer, "IEEE J. Quantum Electron QE-18670 (1982)